

UNIVERSITE SAAD DAHLEB -BLIDA-

Faculté de technologie

Département des Sciences de l'Eau et Environnement



MEMOIRE DE MASTER

Filière : **Hydraulique**

Spécialité : **Ressources Hydrauliques**

Thème :

**Dimensionnement de réseaux d'eau potable de la ville
d'Ammamir de la commune de MEFTAHA (Wilaya de Blida).**

Présenté par :

AMIRA CHEMS EDDINE

LAID ISMAIL

Devant le jury composé de :

M.BENAZIZA

Président

Mme. BENZINEB

Examinatrice

M. BELKACEM FILALI

Promoteur

Promotion 2020/2021

REMERCIEMENT

Au nom de dieu le très miséricordieux, le tout miséricordieux louange ALLAH, lui seul dont nous implorons secours, grâce a son aide ce travail a été mené à terme.

Nos sincères remerciements s'adressent à M. BELKACEM FILALI de nous avoir encadré, et d'avoir suivi et mené à bien ce travail.

Nous sommes conscientes de l'honneur que nous a fait Mr BESSENASSE en étant président du jury, ainsi qu'à Mme. BEN ZINEB d'avoir accepté d'examiner ce travail.

Nous remercions vivement et sincèrement les ingénieurs de C.T.H (control technique hydraulique) Mr. Mourad et Mr oussama et Mr khaled et tout l'équipe technique (C.T.H)

Nous remercions d'autre part le chef département Mme. BENKACI et les enseignants et les professeurs du département de science de l'eau et de l'environnement.

Nous tenons à remercier vivement nos camarades de promotions pour leur précieux conseil.

Trouvent ici l'expression de nos.

Sincère gratitude.

On leurs doit un grand respect.

Dédicace

Je dédie ce modeste travail

*Spécialement à mes très **chères parents**
pour leurs Sacrifices, leurs amour, leurs
Aide et leurs soutien et me voir ainsi
arriver à ce Que je suis devenu
aujourd'hui.*

A mes très chères sœurs .

A mes amis(es) de l'université

A tous ceux qui me sont chers .

L A I D I S M A I L .

Dédicaces

Je dédie ce travail à :

Ma très chère grand-mère « sebbati ghanía » pour son sacrifice, son amour, son aide et son soutien, et me voir ainsi arriver à ce que je suis aujourd'hui.

Mon très cher grand-père « abdel el fetah » paix a son âme qui sans lui je ne serais pas arrivé jusqu'ici. J'espère toujours rester fidèle aux valeurs morales qu'il m'a apprises.

Mon très cher oncle dokhri « doudou », qui m'a toujours encouragé, Et Soutenu dans ma vie.

Ma très chère tante « houda » qui m'a toujours apportée Son amour et son affection.

Mes très chère frère « nadir » « saad »

A tout ma famille

A tout mes amis de la promo d'hydraulique

Chems eddine

ملخص :

الهدف الأساسي من هذه المذكرة هو دراسة مشروع التزويد بمياه الشرب لمنطقة عمامير بلدية مفتاح ولاية البليدة وهذا بواسطة الاحتياجات المائية لمختلف فئات الإستهلاك ، حيث تم تنفيذ دراستنا وفق المراحل التالية :

- دراسة شبكة توزيع المياه للمنطقة المذكورة سابقا، من أجل تحقيق اكتفاء للتجمع السكاني نوعيا وكميا.
- دراسة كيفية إيصال المياه، مع أخذ العوامل التقنية و الاقتصادية بعين الاعتبار.
- دراسة اقتراح عدة تدابير لتنفيذ المشروع.
- خلال المراحل السابقة المختلفة، يمكن لنظامنا أن يفي بالمعايير ويضمن تزويد جيد من حيث الجودة والكمية.

كلمات مفتاحية: مياه الشرب، الخزان، انابيب النقل ، التوزيع

Résumé :

L'objectif principal de ce mémoire est de faire l'étude d'alimentation en eau potable de douar Ammamir Daïra de Meftah (W.Blida). Notre étude est effectuée selon les étapes suivantes :

Étude et dimensionnement du réseau de distribution de ladite zone d'étude afin de satisfaire notre agglomération qualitativement et quantitativement. Etude de l'adduction, tenant compte des facteurs technique et économique vue que ces deux paramètres sont reliés .Enfin, nous adressons à l'achèvement du projet les différentes mesures prises pour bien mener notre projet.

Passant par les différentes étapes précédentes, notre système peut répondre aux critères et il garantit une bonne alimentation en termes de qualité et quantité.

Mots clés : Alimentation en eau potable, Réservoir, Adduction, Distribution.

Abstract

The purpose of our work is to study of a drinking water supply for the area of AMMAMIR of the town of Meftah (BLIDA).

. Our study is carried out according to the following three steps: (1) studying and dimensioning the distribution network of the area in order to satisfy the agglomeration qualitatively and quantitatively; (2) examining the adduction taking into account the connected technical and economic factors; and finally taking various measures to successfully achieve our project. Going through the previous steps, our system can meet the standard criteria and it guarantees a good diet in terms of quality and quantity.

Keywords: Drinking water supply, Tank, Adduction, Water hammer, Distribution

Les abréviations

AEP : Alimentation en eau potable.

ARNH : Agence national des ressources hydrique.

DRE : direction des ressources en eau.

PNE : plan national de l'eau POP : population.

Hab : habitant.

DOT : dotation.

CEM : collège d'enseignement

CTN : cote terrain naturel

CTP : cote terrain piézométrique

HMT : hauteur manométrique total.

PEHD : polyéthylène haute densité.

SP : station de pompage.

RV : réservoir.

Min: minimum.

Max : maximum.

PDC: perte des charges.

MFE : mémoire fin d'étude.

C.T.H : control technique hydraulique

CHAPITRE I :

Présentation

de la zone

d'étude

SOMMAIRE

CHAPITRE I : présentation de la zone d'étude

| | |
|---|-----------|
| Introduction générale | 1 |
| INTRODUCTION | 2 |
| I. Situation géographique | 2 |
| II. Situation topographique | 3 |
| III.Situation géologique | 4 |
| IV.Situation climatique..... | 7 |
| IV.1) Pluviométrie : | 8 |
| IV.2) Le vent : | 8 |
| IV.3) La température : | 9 |
| V. Situation démographique | 9 |
| VI.Situation hydrogéologique | 10 |
| VII Situation hydraulique..... | 11 |
| VII.1) Eaux superficielles et souterrains : | 11 |
| CONCLUSION | 13 |

Chapitre II : Estimation des besoins

| | |
|---|-----------|
| Introduction..... | 13 |
| I. Estimation de la population..... | 13 |
| II. Dotation en eau potable | 14 |
| II.1) Choix de la norme unitaire de consommation : | 14 |
| II.2) Critères de choix de la norme..... | 14 |
| III.Estimation de la demande moyenne en eau potable..... | 15 |
| III.1) Détermination de la consommation moyenne journalière | 15 |
| III.2) Besoins Scolaires et administratifs : | 16 |
| III.3) Récapitulatif des différentes consommations journalières : | 16 |
| IV.Estimation des pertes | 17 |

| | |
|--|----|
| IV.1) Estimation des besoins moyens en eau : | 17 |
| V. Variation des débits de consommation journaliers | 18 |
| V.1) Coefficient d'irrégularité | 19 |
| V.1.1) Coefficient d'irrégularité maximale ($K_{max j}$) : | 19 |
| V.1.2) Coefficient d'irrégularité minimale ($K_{min j}$) : | 19 |
| VI. Détermination des débits journalière | 19 |
| VI.1) Consommation maximale journalière ($Q_{max j}$) : | 19 |
| VI.2) Consommation minimale journalière ($Q_{min j}$) : | 20 |
| VII. Détermination des débits horaires | 20 |
| VII.1) Débit moyen horaire | 21 |
| VII.3) Débit pointe (Débit maximum horaire) | 21 |
| Conclusion | 23 |

Chapitre III : réservoir

| | |
|--|----|
| Introduction | 24 |
| I. Rôle des réservoirs | 24 |
| II. Emplacement des réservoirs | 24 |
| III. Principe de fonctionnement | 25 |
| IV. Le type des réservoirs | 25 |
| V. Équipement du réservoir | 25 |
| V.1) Équipements hydrauliques des réservoirs | 25 |
| V.2) Conduite d'arrivée..... | 26 |
| V.3) Conduite de départ ou de distribution | 26 |
| V.4) Conduite de trop-plein | 26 |
| V.5) Conduite de décharge ou de vidange | 27 |
| V.6) Conduite by-pass..... | 27 |
| V.7) Système de matérialisation d'incendie..... | 27 |
| V.8) Système à deux prises | 27 |

| | |
|---|----|
| V.9) Système à siphon | 28 |
| VI. Équipement de nettoyage | 28 |
| VII. Vérification de la capacité des réservoirs existants à l'horizon projet | 28 |
| VII.1) Méthode graphique | 29 |
| VII.2) Méthode analytique | 29 |
| VIII. Détermination des capacités des réservoirs existants | 29 |
| VIII.1) Dimensionnement du réservoir R1 | 29 |
| Conclusion | 31 |

Chapitre IV : calcul hydraulique

| | |
|---|----|
| Introduction | 32 |
| I. Classification des réseaux de distribution | 32 |
| I.1) Réseau maillé..... | 32 |
| I.2) Réseau ramifié | 33 |
| I.3) Réseau combiné | 34 |
| I.4) Réseau étagé | 34 |
| I.5) Conception d'un réseau | 35 |
| II. ETUDE DES VARIANTES | 35 |
| V.1) Première variante | 36 |
| V.2) Deuxième variante | 37 |
| V.3) Comparaison Technique | 38 |
| III. Présentation du logiciel | 39 |
| IV. Capacités pour la Modélisation Hydraulique | 40 |
| V. Calcul hydraulique du réseau | 40 |
| IV.1) Débit en route | 41 |
| IV.3) Calcul des débits soutirés (Q _{ndi}) | 41 |
| IV.4) Débits en Routes (Q _{route}) | 41 |
| IV.5) Débits spécifiques (Q _{sp})..... | 42 |

| | |
|---|----|
| VI. RESULTATS DES SIMULATIONS DE LA SITUATION FUTURE | 45 |
| VI.1) Pressions | 45 |
| VI.2) Vitesse | 47 |
| VI.3) Perte de charge unitaire | 48 |
| VI.4) Diamètre de Conduite | 49 |
| Conclusion | 50 |

Chapitre V : calcul d'addiction

| | |
|---|----|
| INTRODUCTION | 51 |
| I. Type d'adduction | 51 |
| I.1) Adduction gravitaire | 51 |
| I.2) Adduction par refoulement | 52 |
| I.3) Adduction mixte | 52 |
| II. Type d'écoulement | 53 |
| II.1) Écoulement à surface libre | 53 |
| II.2) Écoulement en charge | 53 |
| III. Calcul hydraulique des adductions | 53 |
| III.1) Choix du diamètre économique | 53 |
| III.2) Calcul de la vitesse | 54 |
| III.3) Calcul des pertes de charge | 54 |
| III.4) Détermination de la hauteur manométrique totale (Hmt) | 55 |
| III.5) Vérification le modèle de calcul par Epanet | 56 |
| IV. Choix du type de la pompe | 57 |
| 1) Pompes centrifuge | 57 |
| 2) Pompe volumétrique | 58 |
| 3) Turbopompe | 58 |
| V. Choix du nombre de pompe | 58 |
| Conclusion | 61 |

List des figures

CHAPITRE I : présentation de la zone d'étude

| | |
|--|----|
| Figure I-1 carte administrative de la willaya de Blida | 02 |
| Figure I-2 présentations de la zone d'étude AMMAMIR | 03 |
| Figure I-3 plan de délimitation de la zone d'étude AMMAMIR..... | 03 |
| Figure I-4 la situation topographique de la zone d'étude..... | 04 |
| Figure I-5 carte géologique de la zone d'étude AMMAMIR | 05 |
| Figure I-6 carte géologique de la région AMMAMIR | 05 |
| Figure I-7 Légende de la carte géologique..... | 06 |
| Figure 1-8 Légende de la carte géologique..... | 07 |
| Figure I-9 distribution mensuelle des pluies (mm)..... | 08 |
| Figure I-10 Coupe interprétative transversale de la Mitidja, de L'Atlas Blidéen au SSE à Sahel au NNW..... | 11 |
| Figure I 11 schéma synoptique de ville de Meftah..... | 12 |

Chapitre II : Estimation des besoins

| | |
|---|----|
| Figure II 1 évaluation de la population..... | 14 |
| Figure II 2 Diagramme Consommation total..... | 23 |

Chapitre III : réservoir

| | |
|--|----|
| Figure III-1 les différentes manières pour l'emplacement du réservoir..... | 24 |
| Figure III-2 conduite d'arrivée..... | 26 |
| Figure III-3 Conduite de distribution..... | 27 |
| Figure III-4 Equipment des réservoirs..... | 28 |

Chapitre IV : calcule hydraulique

| | |
|---|----|
| Figure IV-1 : Schéma d'un réseau maillé..... | 33 |
| Figure IV-2 : Schéma d'un réseau ramifié..... | 33 |
| Figure IV-3 : Schéma d'un réseau combiné..... | 34 |
| Figure IV-4 : Schéma d'un réseau étagé..... | 34 |
| Figure IV-5 variante 01..... | 36 |
| Figure IV-6 variante 02..... | 37 |
| Figure IV-7 présentation des pressions aux nœuds du réseau cas de pointe..... | 44 |

| | |
|---|----|
| FigureIV-8 présentation des nœuds cas de pointe a 00 :00h..... | 45 |
| FigureIV-9 présentation des vitesses maximales cas de pointe..... | 46 |
| Figure IV-10 Perte des charges maximales cas de pointe..... | 47 |
| Figure IV-11 présentation des conduites de réseaux..... | 48 |
| FigureIV-12 présentation différent paramètre des conduites..... | 49 |

Chapitre V : calcul d'addiction

| | |
|---|----|
| Figure V-1 Adduction gravitaire..... | 51 |
| Figure V-2 Adduction par refoulement..... | 52 |
| Figure V-3 adduction mixte refoulement-gravitaire..... | 52 |
| Figure V-4 Tracé en Plan Adduction à partir R5000 m3..... | 55 |
| Figure V-5 profil piézométrique de l'adduction entre R5000 ET R1000 AMMAMIR..... | 56 |
| Figure V-6 Pompe centrifuge..... | 58 |
| Figure V-7 Pompe Turbopompes. | 58 |
| Figure V-8 résulta de logiciel Caprari..... | 60 |

List des tableaux

CHAPITRE I : présentation de la zone d'étude

| | |
|---|----|
| Tableau I-1 vitesse moyenne de vent..... | 09 |
| Tableau I-2 relève métrologique de la zone d'étude..... | 09 |
| Tableau I-3 population de AMMAMIR | 10 |
| Tableau I-4 estimation du nombre d'habitants..... | 10 |

Chapitre II : Estimation des besoins

| | |
|--|----|
| Tableau II-1 population de la commune..... | 13 |
| Tableau II-2 évaluation de la population..... | 13 |
| Tableau II-3 Typologies Agglomérations/states de population..... | 15 |
| Tableau II-4 Demande moyenne en AEP de la zone d'étude à différents horizons..... | 16 |
| Tableau II-5 : Tableau récapitulatif des besoins scolaires et administratifs..... | 16 |
| Tableau II-6 : Tableau récapitulatif des différentes consommations journalières..... | 16 |
| Tableau II-7 Besoins totaux en eau aux différents horizons..... | 18 |
| Tableau II-08 débit de pointe..... | 20 |
| Tableau II-09 montre la récapitulation de consommation journalière maximale et minimale..... | 20 |
| Tableau II-10 Répartition des débits horaires en fonction du nombre d'habitants..... | 21 |
| Tableau II-11 Diagramme Consommation total..... | 22 |
| Tableau II-12 débit de pointe de la zone d'étude aux différents horizons..... | 23 |

Chapitre III : réservoir

| | |
|---|----|
| Tableau III-1 : Vérification de la capacité de stockage Actuelle..... | 30 |
| Tableau III-2 : capacité de stockage Actuelle..... | 31 |

Chapitre V : calcul de l'adduction

| | |
|---|-------|
| Tableau IV-1 comparaison technique entre les 2 variantes..... | 37 |
| Tableau IV-2 : Débits maximum horaire..... | 40 |
| Tableau IV-3 Débits aux nœuds..... | 42/43 |

Introduction générale

L'eau joue un rôle très important dans la continuité de la vie sur terre.

L'homme a utilisé cette eau comme source de vie et de développement socioéconomique. Cette ressource devient de plus en plus insuffisante dans le monde entier, cela est dû à son inégale répartition, à la forte croissance démographique, au changement climatique et à la pollution des ressources en eau.

En Algérie la problématique de l'eau sera une préoccupation majeure durant ce siècle, nos ressources deviennent de plus en plus limitées et difficile à exploiter, surtout au niveau des réseaux d'alimentation en eau potable là où des grandes quantités sont perdues à cause des fuites dans le réseau ou par les consommateurs.

La question mérite d'être posée, mais pour répondre à cette dernière, une étude de dimensionnement doit se faire pour établir les anomalies et les problèmes dans le système d'AEP.

Notre étude va porter sur L'agglomération de **AMMAMIR** qui est l'une des régions de la commune de **MEFTAH** de la wilaya de **BLIDA**, prévus de drainer 2725 habitants a partir d'un réservoir projeté de capacité de 1000 m³.

Notre travail est consacré à **Dimensionnement de réseaux d'eau potable de la ville de AMMAMIR de la commune de MEFTAH (Wilaya de Blida)**.

Ce travail sera subdivisé en six chapitres :

Chapitre I : Présentation de la zone d'étude.

Chapitre II : Estimation des besoins.

Chapitre III : réservoir.

Chapitre IV : calcul hydraulique.

Chapitre V : calcul d'addiction.

Chapitre VI : Description des accessoires hydraulique.



Figure I-2 présentations de la zone d'étude amammir (source google earth)

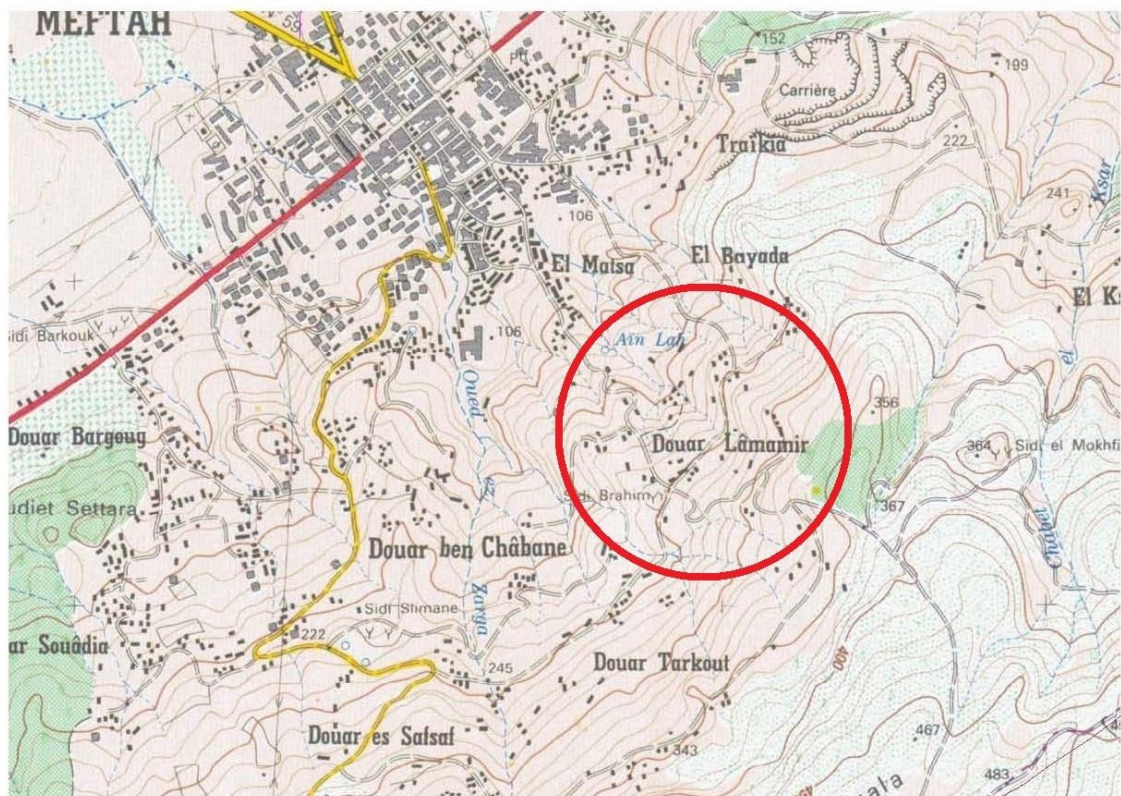


Figure I-3 plan de délimitation de la zone d'étude amammir [1]

II. Situation topographique

La commune s'étend sur une superficie de 5212ha et son territoire est composé de deux types de reliefs :

- Au Nord, la plaine qui représente 65% de la surface totale.
- Au Sud, la montagne qui occupe 35% de la surface totale.



Figure I-4 la situation topographique de la zone d'étude [1]

III. Situation géologique

Une bonne connaissance de la géologie nous permet de prendre des dispositions indispensables lors de la réalisation des tranchées, et aussi pour le choix des engins de terrassement afin d'organiser les travaux de chantier.

Pour notre site la zone sud-est composées d'un faible graveleux à sablonneux et d'épaisseur de cette couche est assez importante.

- Le lit de la couche citée ci-dessus prend contact avec le toit des marnes jaunes dont l'épaisseur est aussi négligeable
- Puis vient une alternance grés et de sable
- Qui disparaît nettement en allant vers le sud par la présence d'une faille verticale.
- Le substratum est constitué de marne

CHAPITRE I : PRESENTATION DE LA ZONE D ETUDE

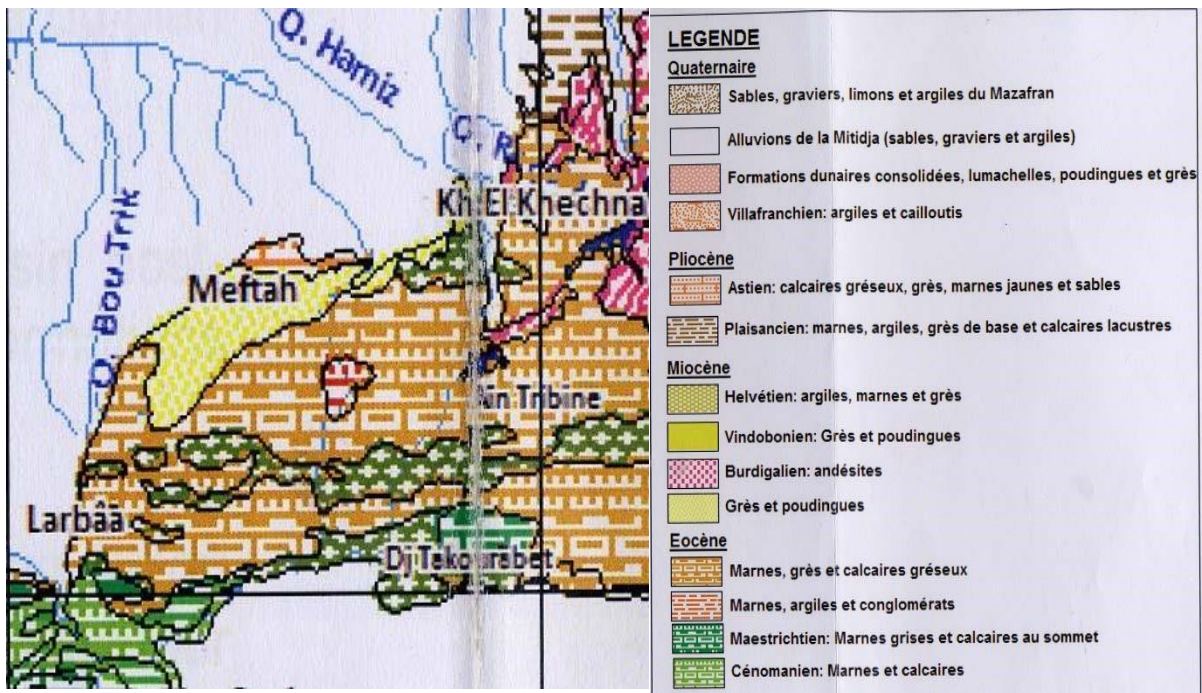


Figure I-5 carte géologique de la zone d'étude ammamir [1].

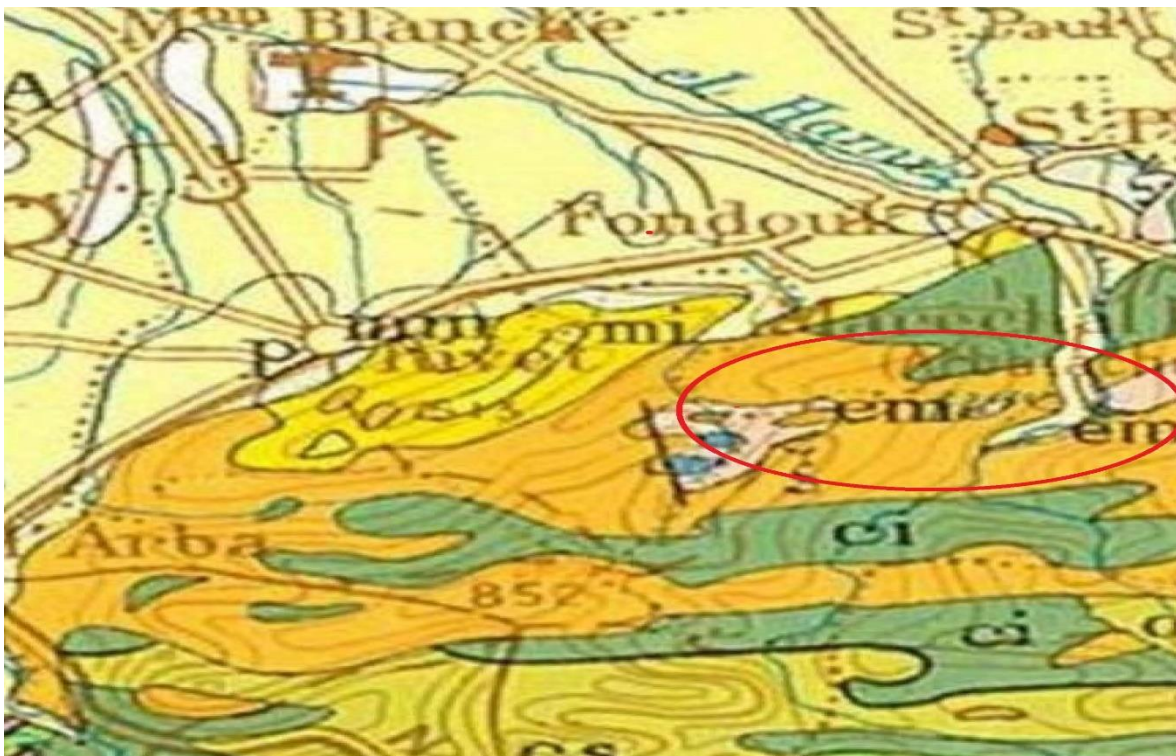


Figure I-6 carte géologique de la région ammamir [1]

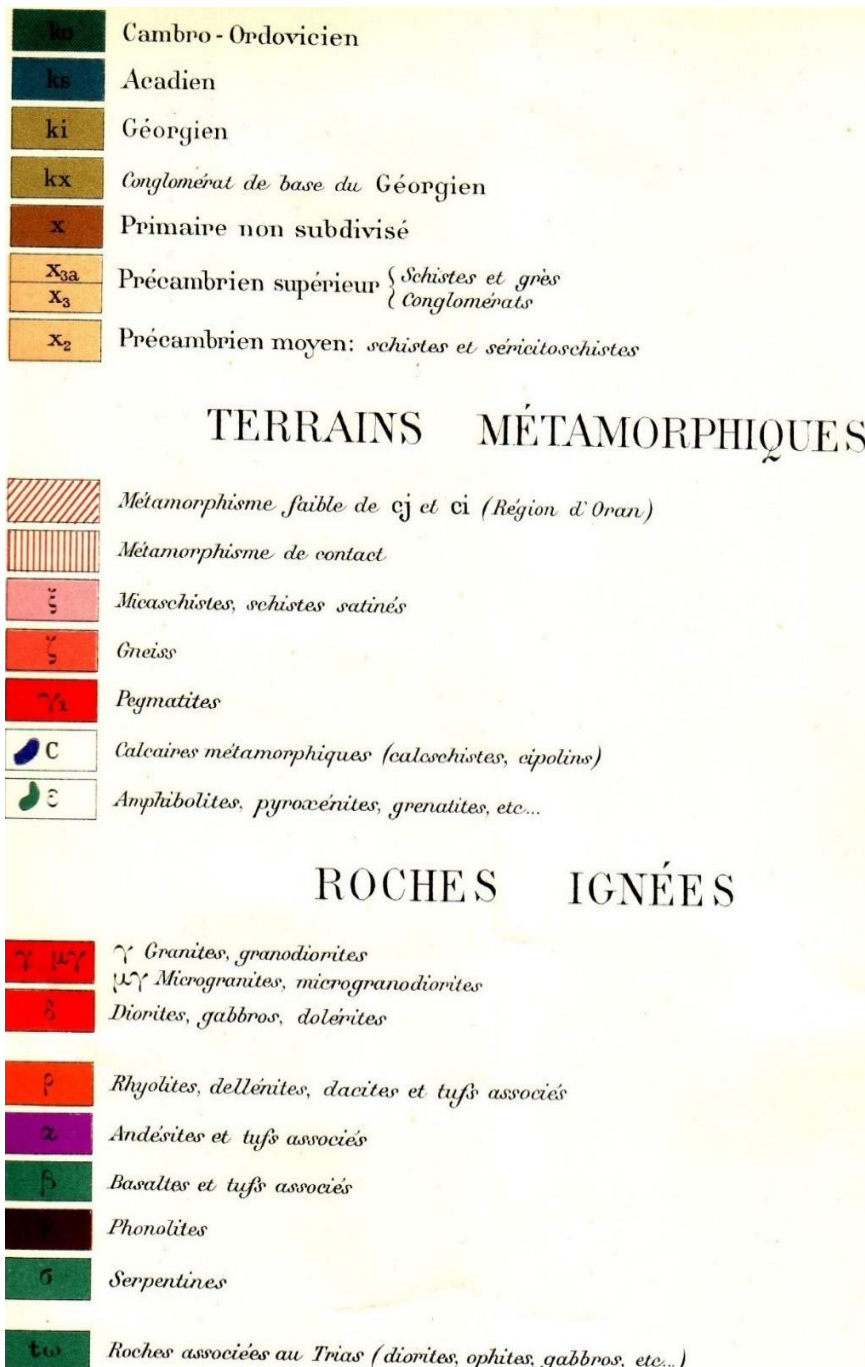
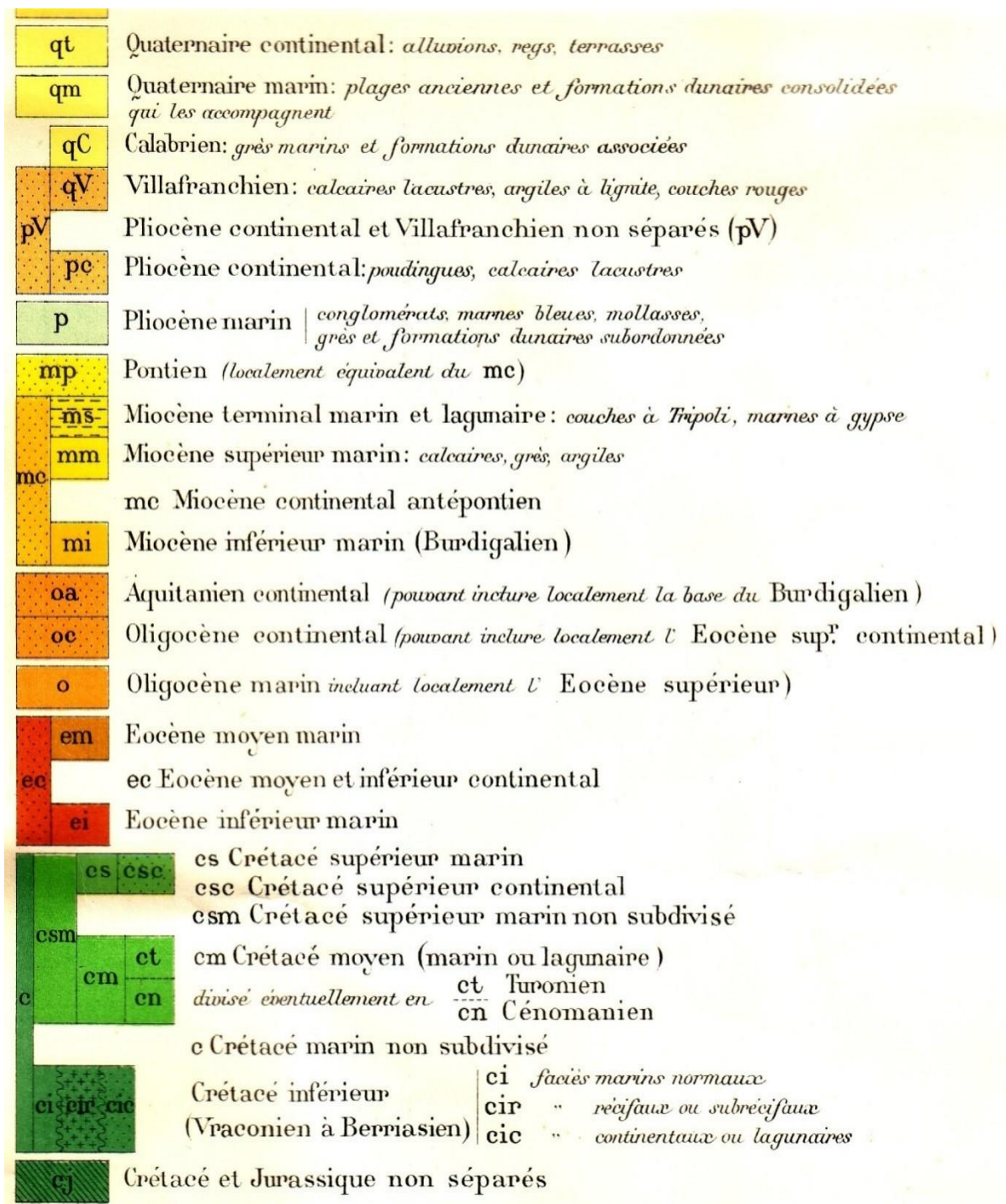


Figure I-7 Légende de la carte géologique [1]

CHAPITRE I : PRESENTATION DE LA ZONE D ETUDE



IV. S
itu
ati
on
cli
ma
tique
ue

La
MI
TI
DJ
A
sub
it
une
dou
ble
infl
uen
ce

de la mer et
de la
montagne.
Donc le
climat à des

Figure 1-8 Légende de la carte géologique [1]

particularités continentales caractérisée par une irrégularité pluviométrique annuelle et interannuelle.

La commune de Meftah, par sa situation géographique, jouit d'un climat méditerranéen. Avec quelques nuances continentales, le caractère principal de ce climat est l'alternance d'une saison chaude sèche s'étalant du mois d'avril au mois de septembre, suivi d'une saison froide et humide d'octobre en mars.

IV.1) Pluviométrie :

Le régime pluviométrique est représenté par une double irrégularité annuelle et interannuelle, les précipitations les plus importantes s'étalent sur trois mois (Décembre, Janvier, Février).

D'après les données de l'ANRH, la valeur des pluies précipitées sur la région varie entre 500 à 1000 mm

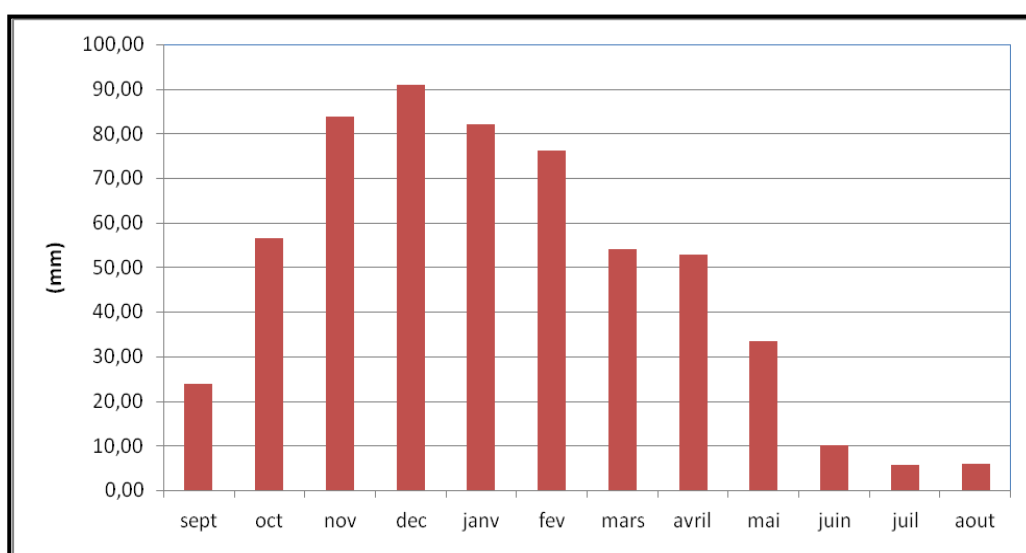


Figure I-9 distribution mensuelle des pluies

IV.2) Le vent :

En hiver, la direction dominante du vent est du nord-ouest. Par contre en été, le régime des vents est assez important et leur direction oscille entre l'est et le nord-est.

CHAPITRE I : PRESENTATION DE LA ZONE D ETUDE

Tableau I-1 vitesse moyenne de vent

| Mois | Sep | Oct | Nov | Dec | Jan | Fev | Mar | Avr | Mai | Jui | Juil | Août |
|--------------------|------|------|------|------|------|------|-----|-----|-----|-----|------|------|
| Vent moy (Km/h) | 4.24 | 2.91 | 2.33 | 2.46 | 2.88 | 2.36 | 4.2 | 3.5 | 3.4 | 3.6 | 3.5 | 3.3 |

IV.3) La température :

Le climat de Meftah est assez frais quoiqu'il présente des températures assez élevées pendant la saison estivale, la moyenne des températures du mois d'Août, le plus chaud est de 47°C tandis que le mois de janvier est le plus froid la température est de -11°C.

La température moyenne annuelle est de 19.66°C avec un maximum de 45°C en juillet Août et un minimum de -11°C en janvier.

Tableau I-2 relève métrologique de la zon d'étude

| Relevé météorologique de MEFTAH | | | | | | | | | | | | | |
|-----------------------------------|------|------|------|-------|------|------|-------|------|------|------|------|------|-------|
| Mois | jan. | fév. | Mars | Avril | Mai | Juin | juil. | Août | sep. | oct. | nov. | déc. | Année |
| Température minimale moyenne (°C) | 3 | 3 | 6 | 8 | 11 | 15 | 17 | 19 | 14 | 11 | 9 | 7 | 9,1 |
| Température moyenne (°C) | 8 | 9 | 11 | 18 | 20 | 28 | 32 | 32 | 27 | 21 | 18 | 12 | 19.66 |
| Température maximale moyenne (°C) | 13 | 15 | 18 | 22 | 24 | 31 | 35 | 38 | 30 | 23 | 23 | 16 | 23,4 |
| Record Froid (°C) | -11 | -8 | -5 | 3,8 | 3,8 | 9,4 | 13,4 | 13,8 | 11,6 | 7,2 | -4 | -10 | -10 |
| Record Chaleur (°C) | 24,4 | 30 | 28,8 | 37,2 | 41,2 | 44,6 | 41,1 | 47,2 | 44,4 | 37,7 | 32,4 | 29,1 | 48 |

V. Situation démographique

Selon le dernier recensement, le nombre d'habitants du centre d'Ammamir et ses quartiers est évalué comme suit :

CHAPITRE I : PRESENTATION DE LA ZONE D ETUDE

Tableau I-3 population de ammamir [1]

| Commune | Agglomérations | Type | Population | Taux d'accroissement |
|---------|----------------|------|------------|----------------------|
| | | | 2008 | 2008/2021 |
| MEFTAH | AMMAMIR | ZE | 2000 | 2.61 % |

Le calcul de l'accroissement de la population se fait par la formule suivante

$$P_t = P_0 (1 + T)^N$$

Avec :

P_t : population à l'horizon de projet.

P₀ : population actuelle 2008 (année de recensement).

T : taux d'accroissement de la population (2.61 %.)

N : nombre d'années séparant les deux horizons.

La population aux différents horizons est résumée dans le tableau Ci-après :

Tableau I-4 estimation du nombre d'habitants [1]

| AMMAMIR | RGPH 2008 | Actuel 2021 | Court terme 2026 | Moyen terme 2036 | Long terme 2051 |
|------------|-------------|----------------|------------------------|---------------------|-----------------|
| POPULATION | 2000 | 2725 | 3099 | 4010 | 5902 |

VI. Situation hydrogéologique

Dans la région de la ville de MEFTAH alimenter par la nappe de bassin EL HARRACH – HAMIZ.

La nappe est limitée, au nord par le sahel, au sud par l'Atlas, à l'Oust par deux ligues de flux nuls.

Elle est alimentée par :

- La pluviométrie (alimentation directe) ;
- L'infiltration à partir des oueds ;
- L'Ascien, soit directement quand il est en contact avec les alluvions en bordure du sahel, soit drainage à travers les marnes.

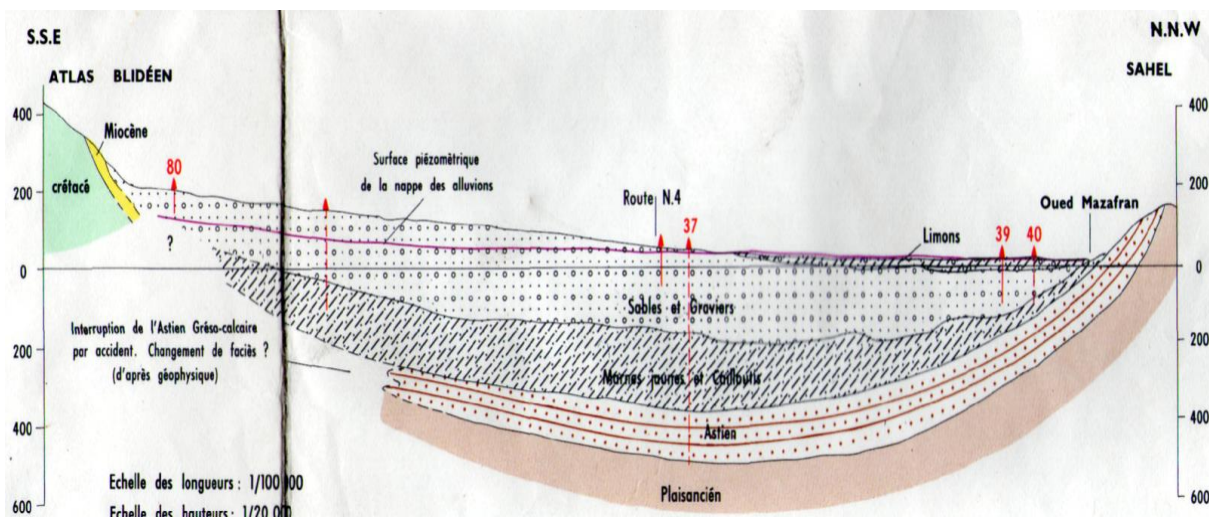


Figure I-10 Coupe interprétative transversale de la Mitidja, de L'Atlas Blidéen au SSE à Sahel au NNW [1]

VII. Situation hydraulique

VII.1) Eaux superficielles et souterraines :

La mobilisation des ressources en eaux souterraines pour Ammamir est assurée actuellement à partir des propres moyens des habitations tel que des puits individuels, la source Tarkout d'un débit très faible. Et on signale que la fraction a utilisé sa propre moyenne de transport, stockage et l'amené d'eau.

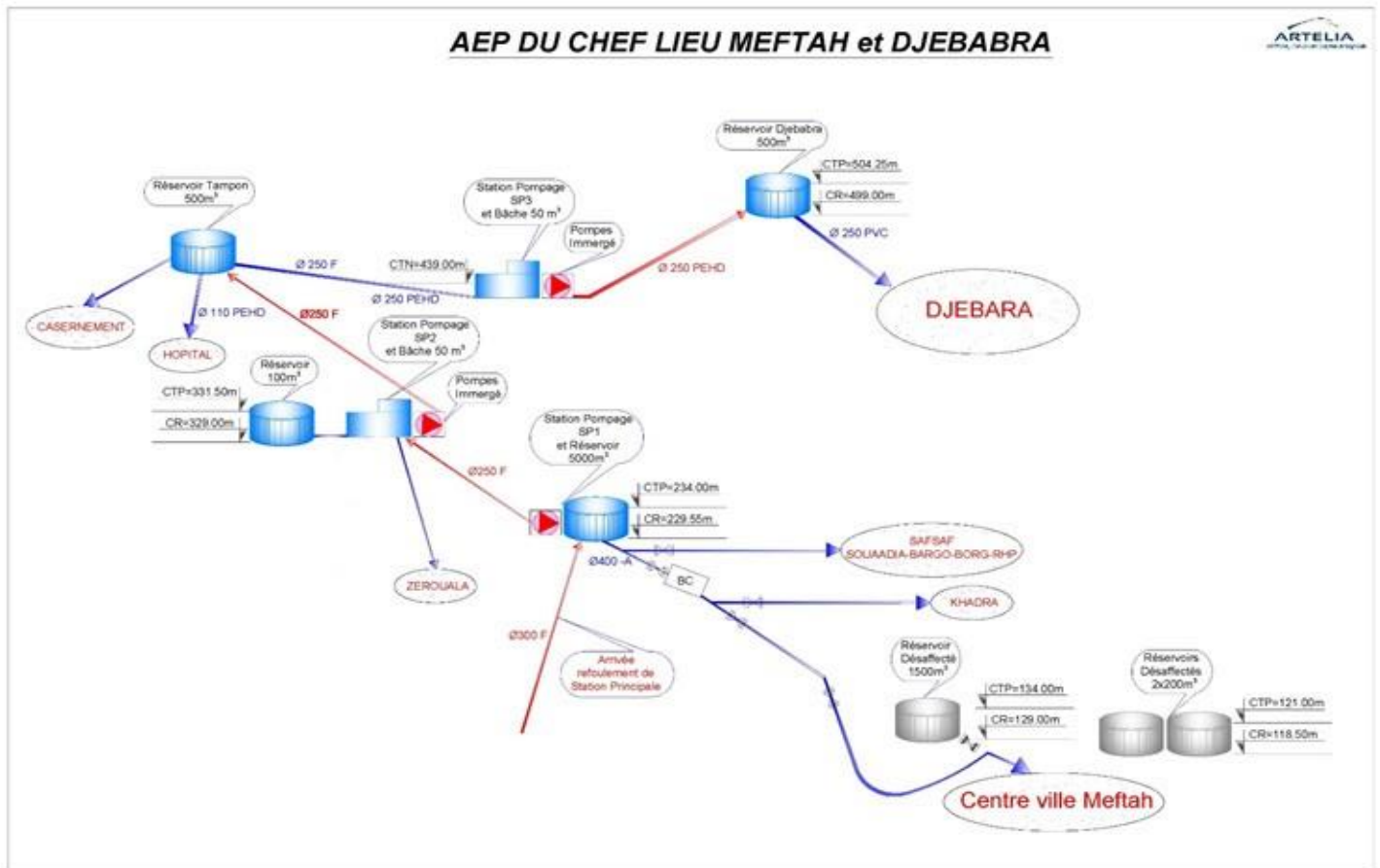
L'alimentation en eau potable de Meftah est effectuée à partir d'un champ de captage composé de plusieurs forages qui alimentent le réservoir 5000 m³ de la station principale de Meftah :

- Trois forages refoulent vers le réservoir 3000 m³ et la station de reprise de Zougari (3 GEP d'un débit de 60 l/s et d'une HMT de 65 m). Cette dernière refoule vers le réservoir 5000 m³ de la station principale via une DN 400 PEHD.

Les forages alimentent le R3000 m³ Zougari comme suit :

- Le forage F1 bis via une conduite DN 160 PVC ;
- Forage F8 Zougari via une conduite DN 160 PEHD ;
- Forage F9 Zougari via une conduite DN 160 PEHD ;
- Cinq forages refoulent vers le réservoir 3000 m³ et la station de reprise de Sraïdjia

(3 GEP d'un débit de 30 l/s et d'une HMT de 32 m). Cette dernière refoule vers le réservoir 5000 m³ via une DN 300 fonte. Les forages alimentent le R3000 m³ Sraïdjia comme suit :



- Forage F2 situé à l'intérieur du site via une conduite DN 200 A ;
- Forage F3 bis via une conduite DN 160 PEHD.
- Forages F4 et F5 via une conduite DN 160 PEHD.
- Forage F7 Douieb via une conduite DN 160 PEHD.

Figure I-11 schéma synoptique de ville de Meftah [1]

CONCLUSION

Dans ce chapitre, une présentation de la zone d'étude sur le plan géographique, climatique, géologique et hydraulique a été faite dans le but de collecter certaines données de base pour l'élaboration de notre travail

La collecte des données consiste à rechercher toutes les informations disponibles dans la région à étudier. Cette étape constitue la phase la plus importante. Elle est basée sur la Collecte des informations brutes, et aussi de vérifier sa fiabilité pour une prise de décision correcte. Dans notre projet nous sommes concernés par l'alimentation en eau potable de la zone de l'Ammamir.

Introduction

Les besoins en eau potable d'une agglomération dépendent essentiellement de sa typologie.

Cette opération correspond à la phase primaire du projet de conception du réseau de distribution d'alimentation en potable de la zone d'étude.

L'estimation prévisionnelle des besoins en eau tient compte à la fois des besoins domestiques et de tous les équipements existants ou projetés dans cette zone.

I. Estimation de la population

La population à différents horizons est estimée à partir de la formule des croissances composées, comme suit :

$$P = P_0 * (1+T)^n$$

Avec :

- P : Population à l'horizon d'étude.
- P₀ : Population de base.
- T : Taux d'accroissement.
- n : Nombre d'années de différence entre l'année de référence et l'année considérée.
- Le taux d'accroissement en % est donné par la formule suivante :

$$T = [(P/P_0)^{(1/n)} - 1]*100$$

Sur la base du recensement de la population et des taux d'accroissement projetés, pour les horizons 2026, 2036 et 2051, nous donnons, ci-dessous, la population de l'aire de l'étude estimée aux différents horizons.

Tableau II-1 population de la commune [1]

| Commune | Agglomérations | Type | Population | Taux d'accroissement |
|---------|----------------|------|------------|----------------------|
| | | | 2008 | 2008/2021 |
| MEFTAH | AMMAMIR | ZE | 2000 | 2.61 % |

Tableau II-2 évaluation de la population

| AMMAMIR | RGBH 2008 | Actuel 2021 | Long Terme 2051 |
|------------|-----------|-------------|--------------------|
| Population | 2000 | 2725 | 5902 |

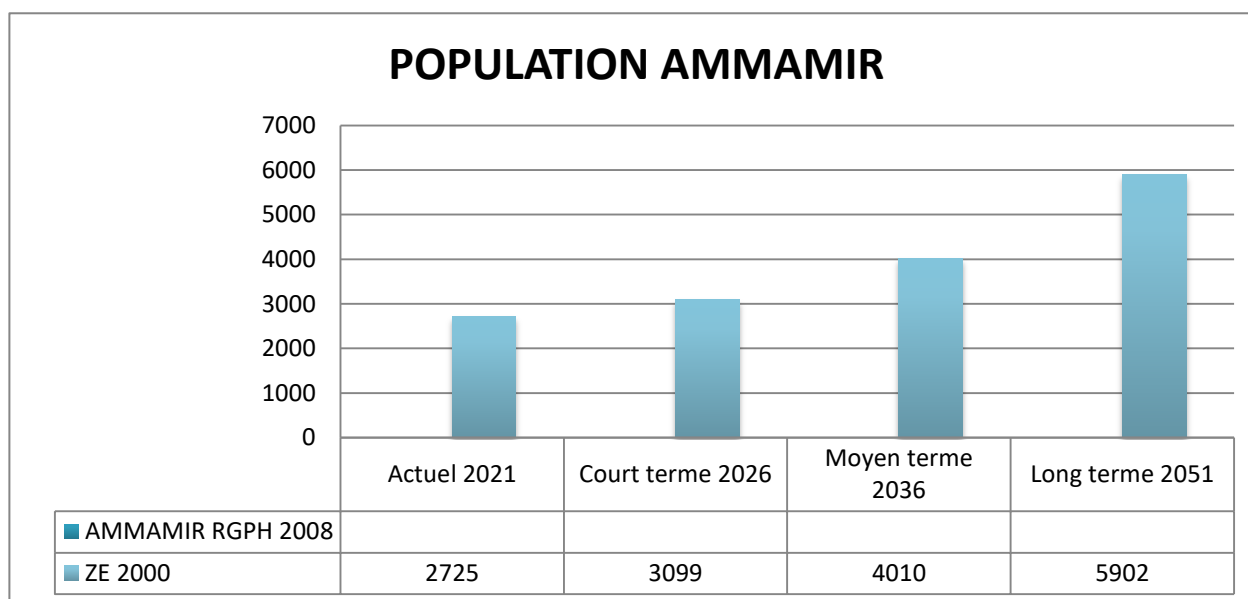


Figure II-1 évaluation de la population

II. Dotation en eau potable

II.1) Choix de la norme unitaire de consommation :

La dotation ou la norme de consommation est définie comme étant la quantité quotidienne d'eau que doit utiliser l'être humain dans ces différents besoins à savoir la consommation urbaine, l'irrigation domestique, consommation publique et pertes. Elle est généralement évaluée en litre par habitant et par 24 heures, par mètre carré de surface de végétaux, par mètre cube, par tonne de productivité, par tête d'animal, par véhicule, etc.

II.2) Critères de choix de la norme

La norme de consommation dépend essentiellement du :

- Niveau de vie de la population et de ses habitudes.
- Nombre d'habitants.
- Développement urbain et sanitaire de la ville.
- Des ressources existantes.

Les dotations unitaires moyennes domestiques sont déterminées par strate de population conformément à la typologie agglomérations définie par l'étude récente du plan national de l'eau (PNE version Août 2010)

CHAPITRE II : ESTIMATION DES BESOIN

Tableau II-3 Typologies Agglomérations/states de population

| DESIGNATION | CARACTERISTIQUE |
|---|--|
| Métropoles à statut particulier de délégation (SPE) | Alger; Oran; Constantine; Annaba |
| métropoles | Villes de plus de 300 000 habitants |
| Urbainsupérieur | 100 000 <pop≤300 000 habitants |
| Urbaine | 20 000<pop≤100 000 habitants |
| Semi urbain | 5 000<pop≤20 000 habitants |
| Semi-rural | 3 000<pop≤5 000 habitants |
| Rural aggloméré | 600 (100 unites habitations) <pop≤3 000 habitants |
| Rural Eparsé | Population inférieure à 600 habitants (100 unités d'habitation). |

(SourcePNE2010)

Pour la présente étude nous avons un nombre de population de 5902 à l'horizon 2051,

- Donc nous optons pour une agglomération semi urbain
- Rappelons que le plan national de l'eau (PNE 1997) prévoit des dotations unitaires moyennes par strate de population allant de 85 à 180 l/j/hab.
- Lorsque notre zone d'étude se trouve dans la partie nord d'Algérie donc il est jugé qu'une dotation de 150 litres/jour/habitant sera suffisante pour satisfaire les besoins de toute la population pour le long terme.

III. Estimation de la demande moyenne en eau potable

Les besoins futurs en eau potable sont évalués sur la base de l'évolution de la population future de la zone d'étude.

III.1) Détermination de la consommation moyenne journalière

Le débit moyen journalier au cours de l'année se détermine par la relation suivante :

$$Q_{\text{moy j}} = N_i * DI / 1000$$

- $Q_{\text{moy.j}}$: Consommation moyenne journalière [m³/j],
- N_i : Nombre de consommateur,
- Di : Dotation moyenne journalière de la consommation [l/hab.j],
- i : Nombre de groupes ($i = 1, 2, 3, \dots n$).

Tableau II-4 Demande moyenne en AEP de la zone d'étude à différents horizons

CHAPITRE II : ESTIMATION DES BESOIN

| DOUAR | Type | RGPH 2008 | 2021 | | | 2051 | | |
|---------|-------------|-----------|----------------|-------------------|------------------------|----------------|-------------------|------------------------|
| | | | Habitants (Ha) | Dotation (l/j/Ha) | Demande moyenne (M3/j) | Habitants (Ha) | Dotation (l/j/Ha) | Demande moyenne (M3/j) |
| AMMAMIR | SEMI URBAIN | 2000 | 2725 | 150 | 408 | 5902 | 150 | 885 |

III.2) Besoins Scolaires et administratifs :

Les différents besoins scolaires et administratives et petites industries sont regroupés dans le tableau (II.5)

Tableau II-5 : Tableau récapitulatif des besoins scolaires et administratifs

| Types equipment's | Unité | N ^{bre} d'unité | Dotation (l/j/unité) | Débit (m ³ /j) |
|--------------------------------|---------|--------------------------|----------------------|---------------------------|
| Crèche | Élève | 30 | 15 | 0.45 |
| Ecole primaire | Élève | 1000 | 15 | 15 |
| mosqué | Fidèles | 1000 | 15 | 15 |
| Centre de santé | lit | 30 | 15 | 0.45 |
| Total (m³/j) | | | | 31 |

III.3) Récapitulatif des différentes consommations journalières :

Après étude de l'estimation des besoins, nous dressons un tableau récapitulatif pour pouvoir calculer le débit total nécessaire pour l'alimentation de la localité jusqu'à l'horizon d'étude

Tableau II-6 : Tableau récapitulatif des différentes consommations journalières

| Type de besoins | Consommation moyenne journalière (M ³ /j) |
|--------------------------------|--|
| Domestiques | 885 |
| Scolaires et administratifs | 31 |
| Total (m³/j) | 916 |

IV. Estimation des pertes

Par le terme « pertes », il est désigné la quote-part du volume total introduit dans un réseau de distribution et qui ne peut être considéré dans les calculs de bilan (volume mesuré distribué par rapport au volume mesuré prélevé).

Les pertes se composent essentiellement de deux éléments à savoir : les pertes administratives et les pertes physiques.

- Les pertes administratives concernent surtout :
 - Les prélèvements non comptabilisés des branchements domestiques (manque de compteurs),
 - Le système de facturation au forfait,
 - Les prélèvements illégaux.
- Les pertes physiques concernent surtout :
 - Les fuites dans le réseau d’approvisionnement (joints défectueux des raccordements des tuyaux, conduites et robinetterie, réservoirs non étanches, perforation des conduites, etc.),
 - Autres prélèvements non rémunérés comme par exemple, prise pour la lutte contre les incendies, prélèvements pour travaux d’inspection et entretien du réseau, rinçage des conduites etc.

Le calcul du besoin en eau à fournir pour satisfaire la demande en eau des différents secteurs se fait comme suit :

$$\text{Besoin} = \text{demande totale} \times (1 + \text{pertes } \%)$$

IV.1) Estimation des besoins moyens en eau :

Du fait de l’hétérogénéité et des importantes lacunes relatives à la connaissance du facteur rendement, les volumes des pertes physiques et commerciales ne peuvent être distingués et sont considérés de manières globales. En effet, les données rendements, quand elles existent, représentent des valeurs estimées et non mesurées.

L’étude de tarification de l’eau à l’usage domestique et industriel (SOGREAH/ICEA 2002) établissait un rendement hydraulique moyen de distribution autour de 50%.

De la même manière le PNE 2006 propose un rendement global moyen de l’ordre de 50%.

CHAPITRE II : ESTIMATION DES BESOIN

Dans le cadre de l'actualisation du PNE, il est proposé de s'appuyer sur une valeur moyenne de rendement de distribution de l'ordre de 70% comme référence de départ à l'année 2021.

- Pour le rendement, les normes du P.N.E seront appliquées. Ces taux sont pour le milieu Semi urbaine 70% en 2021.
- Nous nous fixons comme objectifs d'atteindre un rendement de 70 % pour l'horizon du projet (2051).

En appliquant la relation :

$$\text{Besoin} = \text{demande totale} \times (1 + \text{pertes} \%)$$

Les pertes = (100% - 70%)

Donc :

$$B = 916 * (1 - 30/100) = 1191 \text{ m}^3/\text{j}$$

Tableau II-7 Besoins totaux en eau aux différents horizons.

| Communes | Besoins Totaux (m3/j) |
|----------|------------------------------|
| | 2051 Taux de perte 30% |
| AMMAMIR | 1 191 |

V. Variation des débits de consommation journaliers

Les débits de consommation sont soumis à plusieurs variations dans le temps :

- Variations annuelles qui dépendent du niveau de vie des abonnés de L'agglomération considérée.
- Variations mensuelles et saisonnières qui dépendent de l'activité de la ville.
- Variations hebdomadaires qui dépendent du jour de la semaine.
- Variations journalières qui dépendent du graphique de consommation de la population.

V.1) Coefficient d'irrégularité

V.1.1) Coefficient d'irrégularité maximale ($K_{max j}$) :

L'irrégularité de la consommation horaire au cours de la journée et qui dépend du rapport de $Q_{max j}$ sur le $Q_{moy j}$, nous oblige à tenir compte de cette variation en déterminant le rapport :

$$K_{MAX} = Q_{MAX J} / Q_{MOY J}$$

$Q_{MAX J}$: Débit de consommation maximum journalier.

$Q_{MOY J}$: Débit de consommation moyen journalier.

La valeur de $K_{max,j}$ varie entre [1.1- 1.3] . Dans le présent cas, on prend $K_{max,j} = 1.3$.

Ce coefficient consiste à prévenir les fuites et les gaspillages au niveau du réseau en majorant la consommation moyenne de 10% à 30%.

V.1.2) Coefficient d'irrégularité minimale ($K_{min j}$) :

Ce coefficient nous indique de combien de fois la consommation minimale est inférieure à la consommation moyenne. Ce coefficient est donné par le rapport suivant :

$$K_{MIN J} = Q_{MIN J} / Q_{MOY J}$$

$Q_{MIN J}$: Débit de consommation minimum journalier.

Ce coefficient permet de déterminer le débit minimum journalier. La valeur de $K_{min j}$ entre [0.7 à 0.9].

On prend :

$$K_{min j} = 0.7$$

VI. Détermination des débits journalière

VI.1) Consommation maximale journalière ($Q_{max j}$) :

Ce débit relatif au jour de plus grande consommation pendant l'année est utilisé comme élément de base dans les calculs de dimensionnement du réseau de distribution et d'adduction, il nous permet de dimensionner le réservoir et la station de pompage. Ce débit est donné par :

$$Q_{max j} = K_{max j} * Q_{moy j}$$

$Q_{max j}$: Débit maximum journalier.

$Q_{moy j}$: Débit moyenne journalier.

$K_{max j}$: Coefficient d'irrégularité maximale journalier.

CHAPITRE II : ESTIMATION DES BESOIN

Alors :

$$Q_{\max j} = 1.3 * Q_{\text{moy } j}$$

$$Q_{\max j} = 1.3 * 1191$$

$$Q_{\max j} = 1549 \text{ (m}^3\text{/j)}$$

Tableau II-08 débit de pointe

| Communes | Besoins de pointe ($Q_{\max j}$) | |
|----------|------------------------------------|-------|
| | 2051 | |
| | (m ³ /j) | (l/s) |
| AMMAMIR | 1 549 | 17.92 |

Nb : le besoin journalier de pointe est nécessaire pour calculer les capacités de stockage et le dimensionnement de la conduite d'adduction

VI.2) Consommation minimale journalière ($Q_{\min j}$) :

C'est le débit de jour de faible consommation pendant l'année :

$$Q_{\min j} = K_{\min j} * Q_{\text{moy } j}$$

$$Q_{\min j} = 0.7 * 1191$$

$$Q_{\min j} = 833.7 \text{ (m}^3\text{/j)}$$

Le tableau ci-dessous montre la récapitulation de consommation journalière maximale et minimale :

Tableau II-09 montre la récapitulation de consommation journalière maximale et minimale

| $Q_{\text{moy } j}$ (m ³ /j) | $K_{\max,j}$ | $Q_{\max j}$ (m ³ /j) | $K_{\min,j}$ | $Q_{\min j}$ (m ³ /j) |
|---|--------------|----------------------------------|--------------|----------------------------------|
| 1191 | 1.3 | 1549 | 0.7 | 833.7 |

VII. Détermination des débits horaires

Généralement on détermine les débits horaires en fonction du développement, des habitudes de la population et du régime de consommation probable

CHAPITRE II : ESTIMATION DES BESOIN

VII.1) Débit moyen horaire

$$Q \text{ moy h} = Q \text{ max j} / 24$$

$$1549 / 24 = 64.54 \text{ m}^3/\text{h}$$

VII.3) Débit pointe (Débit maximum horaire)

Le débit horaire d'une agglomération est variable selon l'importance de cette dernière. La variation des débits horaires d'une journée est représentée en fonction du nombre habitants dans le tableau suivant :

Tableau II-10 Répartition des débits horaires en fonction du nombre d'habitants

| Heures | Nombre d'habitants | | | | |
|--------|--------------------|----------------|---------------|----------------|-----------------|
| | (h) | Moins de 10000 | 10001 à 50000 | 50001 à 100000 | Plus, de 100000 |
| 0-1 | 01 | 1.5 | 03 | 3.35 | 0.75 |
| 1-2 | 01 | 1.5 | 3.2 | 3.25 | 0.75 |
| 2-3 | 01 | 1.5 | 2.5 | 3.3 | 01 |
| 3-4 | 01 | 1.5 | 2.6 | 3.2 | 01 |
| 4-5 | 02 | 2.5 | 3.5 | 3.25 | 03 |
| 5-6 | 03 | 3.5 | 4.1 | 3.4 | 5.5 |
| 6-7 | 05 | 4.5 | 4.5 | 3.85 | 5.5 |
| 7-8 | 6.5 | 5.5 | 4.9 | 4.45 | 5.5 |
| 8-9 | 6.5 | 6.25 | 4.9 | 5.2 | 3.5 |
| 9-10 | 5.5 | 6.25 | 4.6 | 5.05 | 3.5 |
| 10-11 | 4.5 | 6.25 | 4.8 | 4.85 | 06 |
| 11-12 | 5.5 | 6.25 | 4.7 | 4.6 | 8.5 |
| 12-13 | 07 | 05 | 4.4 | 4.6 | 8.5 |
| 13-14 | 07 | 05 | 4.1 | 4.55 | 06 |
| 14-15 | 5.5 | 5.5 | 4.2 | 4.75 | 05 |
| 15-16 | 4.5 | 06 | 4.4 | 4.7 | 05 |
| 16-17 | 05 | 06 | 4.3 | 4.65 | 3.5 |
| 17-18 | 6.5 | 5.5 | 4.1 | 4.35 | 3.5 |
| 18-19 | 6.5 | 05 | 4.5 | 4.4 | 06 |
| 19-20 | 5.0 | 4.5 | 4.5 | 4.3 | 06 |
| 20-21 | 4.5 | 04 | 4.5 | 4.3 | 06 |
| 21-22 | 03 | 03 | 4.8 | 3.75 | 03 |
| 22-23 | 02 | 02 | 4.6 | 3.75 | 02 |
| 23-24 | 01 | 1.5 | 3.3 | 3.7 | 01 |

CHAPITRE II : ESTIMATION DES BESOIN

Tableau II-11 Diagramme Consommation total

| | | Diagramme Consommation total | | | |
|-------|-----|---|-------|-----|-------------------|
| | | Q max. j=1 549 m³/J | | | |
| (H) | % | M ³ /h | (H) | % | M ³ /h |
| 0-1 | 1 | 15.49 | 12-13 | 7 | 108.43 |
| 1-2 | 1 | 15.49 | 13-14 | 7 | 108.43 |
| 2-3 | 1 | 15.49 | 14-15 | 5,5 | 85.195 |
| 3-4 | 1 | 15.49 | 15-16 | 4,5 | 69.705 |
| 4-5 | 2 | 30.98 | 16-17 | 5 | 77.45 |
| 5-6 | 3 | 46.47 | 17-18 | 6,5 | 100.685 |
| 6-7 | 5 | 77.45 | 18-19 | 6,5 | 100.685 |
| 7-8 | 6,5 | 100.685 | 19-20 | 5 | 77.45 |
| 8-9 | 6,5 | 100.685 | 20-21 | 4,5 | 69.705 |
| 9-10 | 5,5 | 85.195 | 21-22 | 3 | 46.47 |
| 10-11 | 4,5 | 69.705 | 22-23 | 2 | 30.98 |
| 11-12 | 5,5 | 85.195 | 23-24 | 1 | 15.49 |
| | | | total | 100 | 1549 |

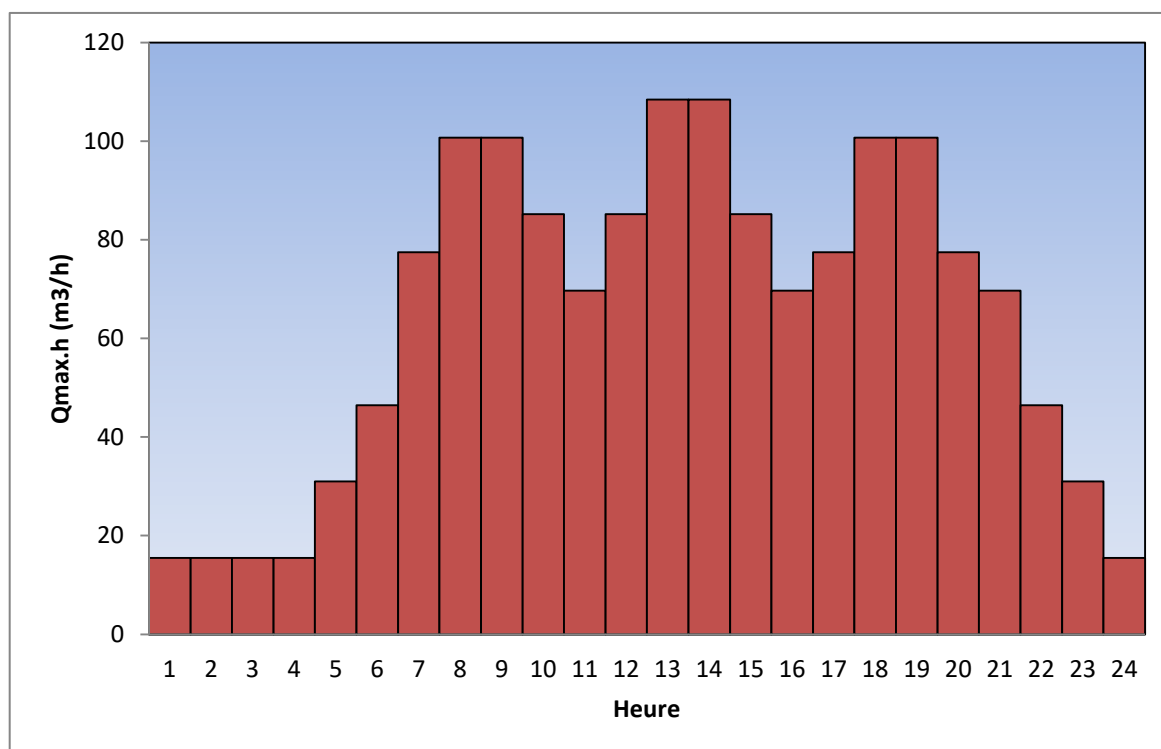


Figure II-2 Diagramme Consommation total

D'après le tableau de variation de débit horaire on à trouver que le débit maximum horaire est égale à 108.43 m³/h

Tableau II-12 débit de pointe de la zone d'étude aux différents horizons

| Communes | Débit de pointe (Q _{max,h}) | |
|----------------|---------------------------------------|--------------|
| | 2051 | |
| | (M3/h) | (l/s) |
| AMMAMIR | 108.43 | 30.11 |

Conclusion

Une estimation globale des besoins en eau de la zone d'étude nous a permis de fixer les débits de dimensionnement prévus pour l'heure de pointe à 30.11 l/s.

Introduction

Le réservoir est un ouvrage hydraulique intermédiaire entre les réseaux d'adductions et les réseaux de distributions. Cet ouvrage est aménagé pour contenir de l'eau soit pour la consommation publique, ou pour l'industrie. Nous allons utiliser le réservoir existant (R5000) qui est implanté à une cote de 295 m

I. Rôle des réservoirs

Le rôle du réservoir est :

- Emmagasinement d'eau pendant toute la durée de fonctionnement de la station de pompage ;
- Réducteur des dépenses d'énergie (stockage la nuit et distribution gravitaire pendant les heures de pointes) ;
- Assurer la continuité de la distribution pendant l'arrêt de la pompe ;
- Assurer une réserve d'incendie ;
- Ils peuvent également jouer le rôle de brise charge dans le cas d'une distribution étagée. [2]

II. Emplacement des réservoirs

L'emplacement du réservoir pose souvent un problème délicat à résoudre, car l'on doit tenir compte des considérations suivantes :

- Il est préférable que l'emplacement puisse permettre une distribution gravitaire, c'est à dire que la côte du radier doit être supérieure à la côte piézométrique maximale dans le réseau de l'agglomération.
- Lorsque plusieurs réservoirs sont nécessaires on doit les implanter de préférence soit en extrémité du réseau, soit à proximité de l'important centre de la consommation.
- L'emplacement du réservoir doit être aussi choisi de telle façon à pouvoir satisfaire aux abonnés la pression suffisante.

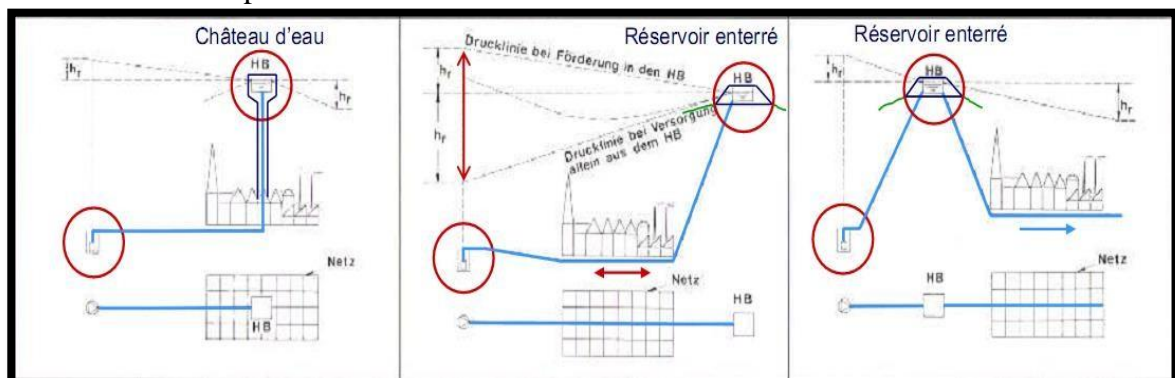


Figure III-1 les différentes manières pour l'emplacement du réservoir

III. Principe de fonctionnement

La régularisation des débits (demande et apport), est posée sur les points suivants :

- Les installations et accessoires d'adduction permettant d'amener l'eau avec une régularisation importante ;
- Le réservoir permet de stocker pendant les heures de faible consommation la différence entre les débits (adduction distribution), Ce pendant lors des heures de consommation maximum (heure de pointe) le déficit transitera du réservoir vers le réseau des distributions. [2].

IV. Le type des réservoirs

D'après la nature des matériaux, on distingue :

- Les réservoirs métalliques.
- Les réservoirs en maçonnerie.
- Les réservoirs en béton armé, ordinaires ou précontraints.

D'après la situation des lieux, ils peuvent être :

- Enterrés.
- Semi-enterrés. (Sur surface)
- Sur- élevés, sur tour.

D'après les nombreux usages des réservoirs on peut les classer en :

- Réservoir principal d'accumulation et de stockage ;
- Réservoir d'équilibre (réservoir tampon) ;
- Réservoir de traitement.

Selon des servitudes d'esthétisme on peut affirmer les fonctions d'un réservoir comme on peut l'intégrer au paysage. [2].

Enfin, d'après leurs formes, ils peuvent être :

- Circulaires.
- Carrés.
- Rectangulaires.

Comme on trouve parfois des réservoirs à formes quelconques (sphérique, conique,etc...).

V. Équipement du réservoir

V.1) Équipements hydrauliques des réservoirs

L'alimentation de réservoir existant (R5000) est assurée par les différents puits, ce réservoir est équipé hydrauliquement par différentes conduites telles que :

- D'une conduite d'arrivée ou d'alimentation ;
- D'une conduite de départ ou de distribution ;
- D'une conduite de trop-plein
- D'une conduite de vidange ;
- D'une conduite by-pass ;
- Du système de matérialisation d'incendie [2].

V.2) Conduite d'arrivée

Cette conduite du type refoulement ou gravitaire, doit arriver de préférence dans la cuve en siphon noyé ou par le bas, toujours à l'opposé de la conduite de départ, pour provoquer un meilleur brassage. Cette arrivée de l'eau permet le renouvellement d'eau par mélange en créant des perturbations et écoulements par rouleaux. Les robinets à flotteurs destinés à alimenter où à interrompre l'arrivée d'eau dans les réservoirs doivent être d'un type anti-bélier ; les soupapes et leurs parties sont en bronze ou en métal inoxydable [2].

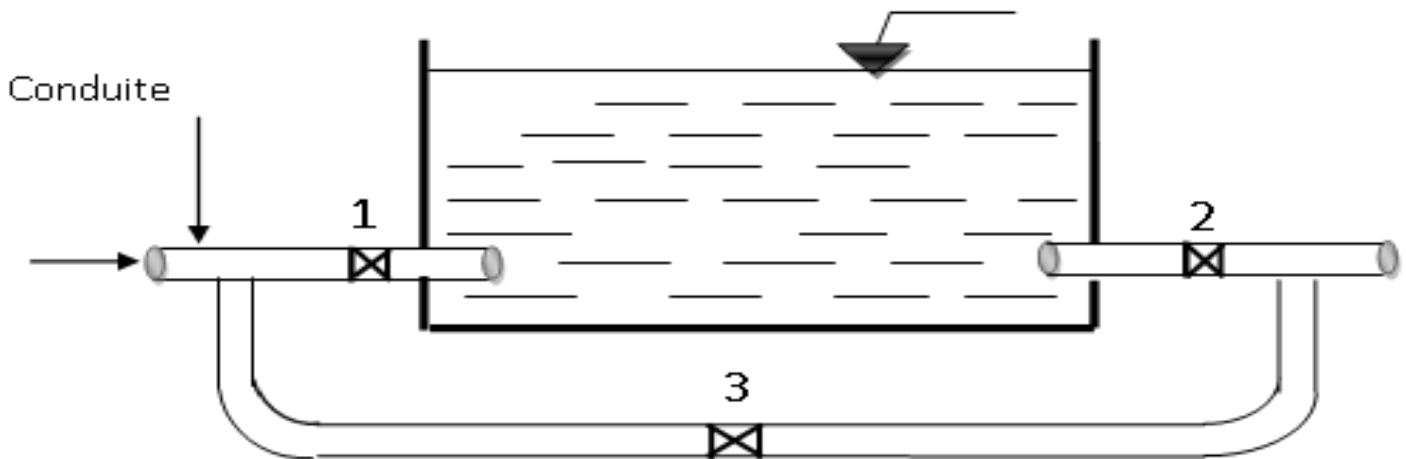


Figure III-2 conduite d'arrivée

V.3) Conduite de départ ou de distribution

Cette conduite est placée à l'opposé de la conduite d'arrivée à quelque centimètre au-dessus du radier (15 à 20 cm) pour éviter l'entrée de matières en suspension. L'extrémité est munie d'une crépine courbée pour éviter le phénomène de vortex (pénétration d'air dans la conduite).

Cette conduite est équipée d'une vanne à survitesse permettant la fermeture rapide en cas de rupture au niveau de cette conduite Figure (V-3) [2].

V.4) Conduite de trop-plein

Cette conduite permet d'évacuer l'excès d'eau au réservoir en cas où la pompe ne s'arrête pas. Si le réservoir est compartimenté, chaque cuve doit avoir une conduite de trop-plein. Ces conduites doivent se réunir dans la chambre de manœuvre pour former un joint hydraulique évitant la pénétration de tous corps étranger [2].

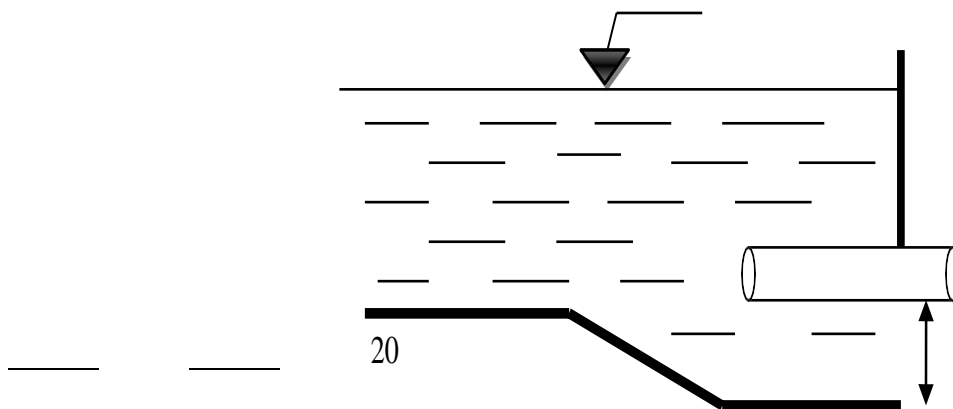


Figure III-3 Conduite de distribution

V.5) Conduite de décharge ou de vidange

La conduite de vidange doit partir du point le plus bas du radier. Elle permet la vidange du réservoir en cas de nettoyage ou de réparation. Elle est munie d'un robinet vanne, et se raccorde généralement à la conduite de trop-plein. Le robinet vanne doit être nettoyé après chaque vidange pour éviter les dépôts de sable (Figure (V-4)) [2].

V.6) Conduite by-pass

C'est un tronçon de conduite qui relie la conduite d'arrivée et la conduite de départ dans le cas d'un réservoir unique non compartimenté. Cette conduite fonctionne quand le réservoir est isolé pour son entretien ou dans le cas d'un incendie à forte charge. (Figure (5-2)) [2].

V.7) Système de matérialisation d'incendie

C'est une disposition spéciale de la tuyauterie qui permet d'interrompre l'écoulement une fois le niveau de la réserve d'incendie est atteint. Nous distinguons le système à deux prises et le système à siphon [3].

V.8) Système à deux prises

Deux conduites sortent du réservoir, l'une prend son départ juste au niveau de la réserve d'incendie l'autre au fond de la réserve d'incendie et elle est munie d'un robinet vanne. Ces conduites se rencontrent dans la chambre de manœuvre. Quand le niveau d'eau dans la cuve atteint le niveau de la consigne d'incendie, l'alimentation cesse de se faire et la réserve d'incendie reste intacte. Le robinet vanne cité ci-dessus est responsable de la préservation de la réserve d'incendie [2].

La réserve d'incendie n'est pas convenablement renouvelée, la stagnation de l'eau conduit à sa dégradation et aux dépôts dans le réservoir [2].

V.9) Système à siphon

Une seule conduite sort de la cuve et prend son départ au fond de la réserve d'incendie. Arrivant dans la chambre de manœuvre, cette conduite comporte un siphon muni d'un évent et de trois robinets vanne.

Le premier est placé avant le siphon, le deuxième à sa sortie et le troisième sur le tronçon de la conduite, entre les deux bouts du siphon.

Quand le niveau d'eau dans le réservoir atteint le niveau de la consigne d'incendie, le système se désamorce grâce à l'évent tout en laissant le premier et le deuxième robinet ouverts.

Le premier et le troisième robinet vanne sont responsables de la préservation de la réserve d'incendie. (Figure (V-4)).

Toutes ces conduites doivent normalement aboutir dans une chambre de manœuvre. La traversée des parois des réservoirs par les diverses canalisations peut s'effectuer, soit à l'aide des gaines étanches comprenant un corps en fonte muni de cannelures extérieures et de deux brides de raccordement, soit au moyen de manchons et viroles à double brides [2].

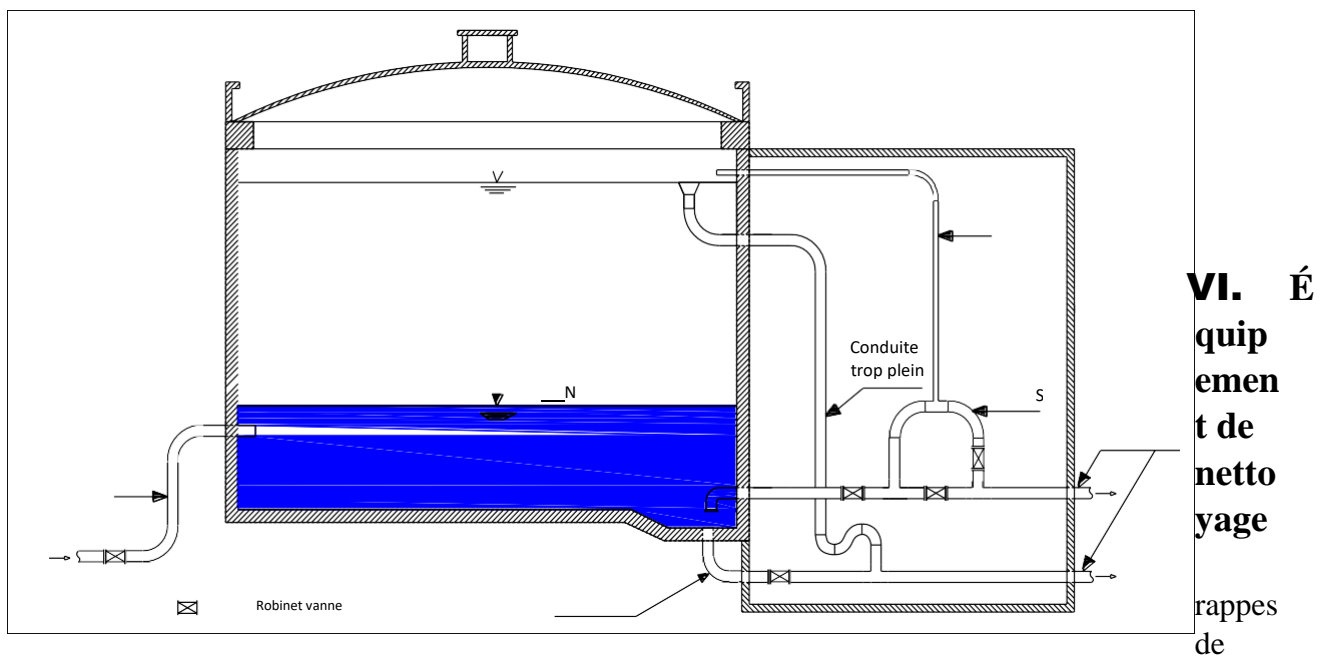


Figure III-4 Equipment des

- visite pour le personnel et le matériel ;
- Équipements spéciaux pour le nettoyage ;
- Pompe d'alimentation en eau.

VII. Vérification de la capacité des réservoirs existants à l'horizon projet

CHAPITRE III : RESERVOIRE

Pour l'estimation de la capacité d'un réservoir à l'horizon 2051, on a recouru soit à la méthode graphique ou analytique.

VII.1) Méthode graphique [3]

Cette méthode tient compte de la courbe de consommation totale (intégrale) déduite à partir de coefficients de variation horaires de la consommation, et la courbe d'apport du débit pompé en fonction de la durée de pompage (baissée sur le traçage des courbes de la consommation et l'apport de la station de pompage), en additionnant en valeur absolue les

Écarts de deux extremums de la courbe de consommation par rapport à celle d'apport, on obtiendra le résidu maximal journalier. Donc :

$$VR = \Delta V_{\max} + \Delta V_{\min} + V_{\text{inc}}$$

Avec :

- VR : Volume du réservoir,
- ΔV_{\min} : Surplus en (m³),
- ΔV_{\max} : Déficit en (m³),
- V_{inc} : Réserve d'incendie ($V_{\text{inc}} = 120 \text{ m}^3$).

VII.2) Méthode analytique [3]

La méthode analytique se base sur le régime de la consommation tout au long de la journée et le temps du fonctionnement de la pompe, le volume utile V_u est déterminé par la formule suivante :

$$V_u = (Q_{\max j} * P\%) / 1000$$

- V_u : Volume utile,
- $Q_{\max j}$: Débit maximum journalier,
- P% : Pourcentage du volume maximal journalier devant être stocké dans le réservoir.

Enfin, le volume du réservoir est donné par la formule :

$$VR = V_u + V_{\text{inc}}$$

VIII. Détermination des capacités des réservoirs existants

VIII.1) Dimensionnement du réservoir R1

En utilisant la méthode analytique.

On a : $Q_{\max j} = 1594 \text{ m}^3/\text{j}$

La pompe fonctionne 16/24h donc le pourcentage de distribution est nul entre 21h jusque à 4h

CHAPITRE III : RESERVOIRE

Tableau III-1 : Vérification de la capacité de stockage Actuelle

| Heures | Consommation d'eau (%) | Apport (%) | Distribution (%) | Excès (%) | Déficit (%) | Résidu (%) |
|--------|------------------------|------------|------------------|-----------|-------------|--------------|
| 0-1 | 1 | 4,17 | 0 | 4,17 | | 16,65 |
| 1_2 | 1 | 4,17 | 0 | 4,17 | | 20,82 |
| 2_3 | 1 | 4,17 | 0 | 4,17 | | 24,99 |
| 3_4 | 1 | 4,17 | 0 | 4,17 | | 29,16 |
| 4_5 | 2 | 4,17 | 0 | 4,17 | | 33,33 |
| 5_6 | 3 | 4,17 | 6,25 | | 2,08 | 31,25 |
| 6_7 | 5 | 4,17 | 6,25 | | 2,08 | 29,17 |
| 7_8 | 6,5 | 4,17 | 6,25 | | 2,08 | 27,09 |
| 8_9 | 6,5 | 4,17 | 6,25 | | 2,08 | 25,01 |
| 9_10 | 5,5 | 4,17 | 6,25 | | 2,08 | 22,93 |
| 10_11 | 4,5 | 4,17 | 6,25 | | 2,08 | 20,85 |
| 11_12 | 5,5 | 4,17 | 6,25 | | 2,08 | 18,77 |
| 12_13 | 7 | 4,17 | 6,25 | | 2,08 | 16,69 |
| 13-14 | 7 | 4,17 | 6,25 | | 2,08 | 14,61 |
| 14-15 | 5,5 | 4,17 | 6,25 | | 2,08 | 12,53 |
| 15-16 | 4,5 | 4,17 | 6,25 | | 2,08 | 10,45 |
| 16-17 | 5 | 4,16 | 6,25 | | 2,09 | 8,36 |
| 17-18 | 6,5 | 4,16 | 6,25 | | 2,09 | 6,27 |
| 18-19 | 6,5 | 4,16 | 6,25 | | 2,09 | 4,18 |
| 19-20 | 5 | 4,16 | 6,25 | | 2,09 | 2,09 |
| 20-21 | 4,5 | 4,16 | 6,25 | | 2,09 | 0 |
| 21-22 | 3 | 4,16 | 0 | 4,16 | | 4,16 |
| 22-23 | 2 | 4,16 | 0 | 4,16 | | 8,32 |
| 23-24 | 1 | 4,16 | 0 | 4,16 | | 12,48 |

$$V_{\max} = (33,33 * 1549) / 100$$

$$V_{\max} = 516 \text{ m}^3$$

À cela s'ajoute la réserve incendie de l'ordre environ de 17 l/s. Nous optons pour deux heures du fait qu'au-delà l'incendie aura tout détruit.

Par conséquent, la capacité totale du réservoir est :

$$V_u = 516 + 120 = 636 \text{ m}^3$$

$$V_u = 636 \text{ m}^3$$

CHAPITRE III : RESERVOIRE

Tableau III-2 : capacité de stockage Actuelle

| Capacité de stockage | | Horizon de calcul | |
|---|---------|-------------------|-------|
| | | 2021 | 2051 |
| Besoins de pointe (Q _{max,j}) | | 555 | 1 549 |
| Besoins en stockage (m ³) + volume insandes (m ³) | | 305 | 636 |
| Stockage existant | | 0 | 0 |
| Bilan Excès/déficit | Excès | | |
| | Déficit | -305 | -636 |

Vu la normalisation des réservoirs, on peut classer notre réservoir en (R 1000).

Conclusion

Dans ce chapitre nous avons déterminé La capacité totale du réservoir qui est de 636 m³, alors que le volume normalisé est estimé à 1000 m³, la capacité existante est largement suffisante pour satisfaire les besoins de la zone.

Introduction

À travers ce chapitre nous déterminerons les différents paramètres hydrauliques, afin d'acheminer l'eau aux usagers en quantité et qualité et assurer des débits bien répartis selon le besoin et des pressions satisfaisante aux différents nœuds.

I. Classification des réseaux de distribution

Un réseau de distribution est un assemblage des différents éléments dont les caractéristiques essentielles, est composé de l'ensemble des acteurs distributeurs permettant d'acheminer les produits ou services du producteur aux consommateurs. [4].

Une canalisation se compose d'éléments droit (tuyaux), d'éléments de raccordements (raccords) et de pièces spéciales (coudes, cônes, tés, etc...).

La construction d'un réseau de distribution d'eau n'est pas uniforme d'une agglomération à une autre et dépend des particularités de celle-ci. Les réseaux peuvent être classés comme suit :

- Réseau maillé.
- Réseau ramifié
- Réseau combiné.
- Réseau étagé.

I.1) Réseau maillé

Un réseau maillé est un réseau de conduites dont la plupart des extrémités des tronçons sont connectées pour former des mailles. Les points de rencontre des conduites sont des nœuds. Le sens de l'écoulement de l'eau à l'intérieur des mailles dépend fortement de la demande.

- **Avantages :** Alimentation d'un tronçon par au moins deux canalisations, d'où une sécurité en approvisionnement. Augmentation des capacités de transfert du réseau à débit égale. En cas de rupture de conduite principale, l'interruption de service se limite à la portion de réseau concernée, isolée par deux à trois vannes.
- **Inconvénients :** Son coût de construction est relativement élevé par rapport au réseau ramifié et difficile à calculer. Connaissance et maîtrise du fonctionnement du réseau plus difficile. Risque de stagnation de l'eau sur certains tronçons. Inversion possible du sens de circulation de l'eau. Identification difficile, du tronçon causant des désordres (fuites, contaminations) [4]

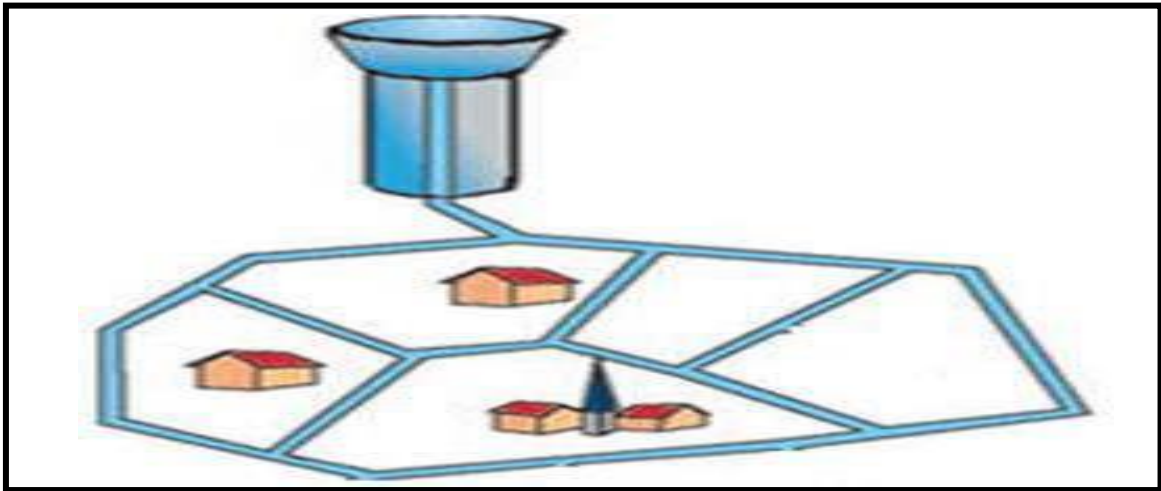


Figure IV-1 : Schéma d'un réseau maillé.

I.2) Réseau ramifié

Un réseau ramifié est un réseau construit sous forme d'arbre allant des conduites primaires aux conduites tertiaires. L'écoulement s'y effectue de l'amont vers l'aval dans les conditions normales de fonctionnement. Il est adapté aux réseaux de faible densité et conçu pour une continuité de service peu exigée.

- Avantages : D'un coût relativement bas à l'investissement, par rapport au réseau maillé. Le sens de l'écoulement est connu, ce qui permet une meilleure maîtrise du fonctionnement et de l'exploitation.
- Inconvénients : Pertes de charge élevées du système, une faible sécurité du réseau d'alimentation ; en cas de travaux d'entretien ou d'un accident sur la conduite principale, les abonnés en aval seront privés d'eau potable. [4].

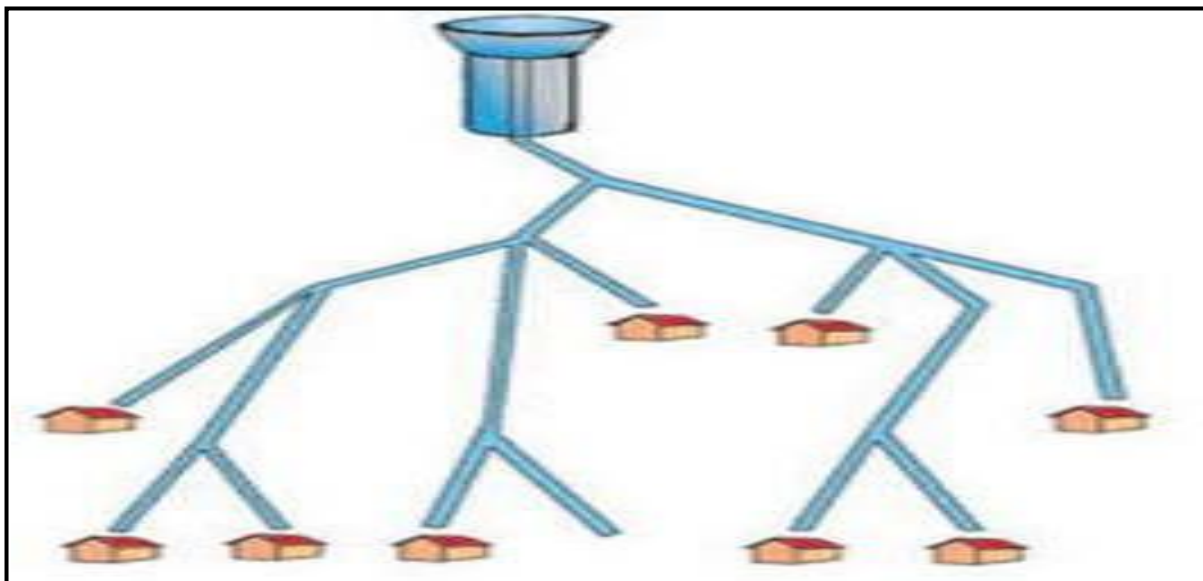


Figure IV-2 : Schéma d'un réseau

I.3) Réseau combiné

Association d'un réseau maillé et d'un réseau ramifié ; très souvent rencontré dans les zones urbaines, compte tenu de la situation topographique de l'agglomération [4].

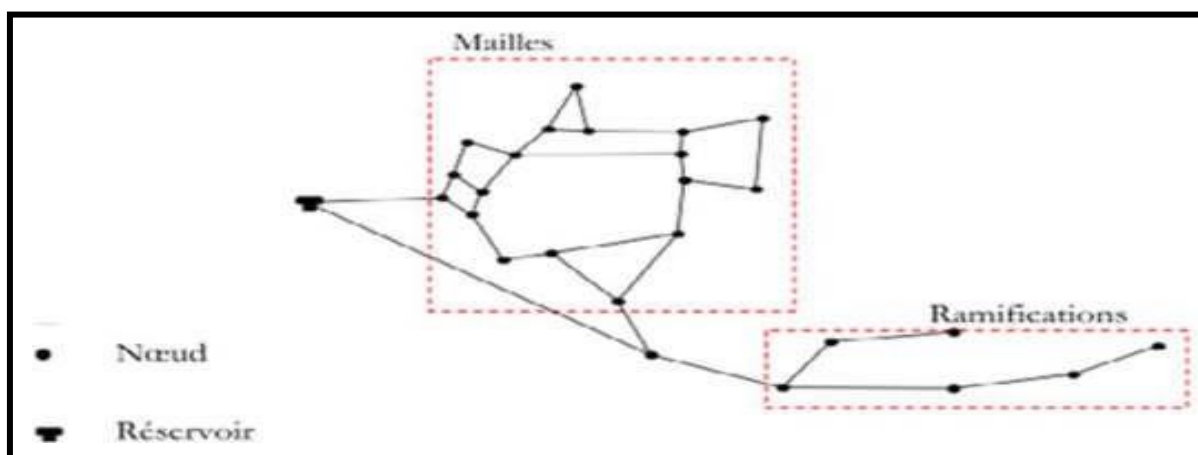
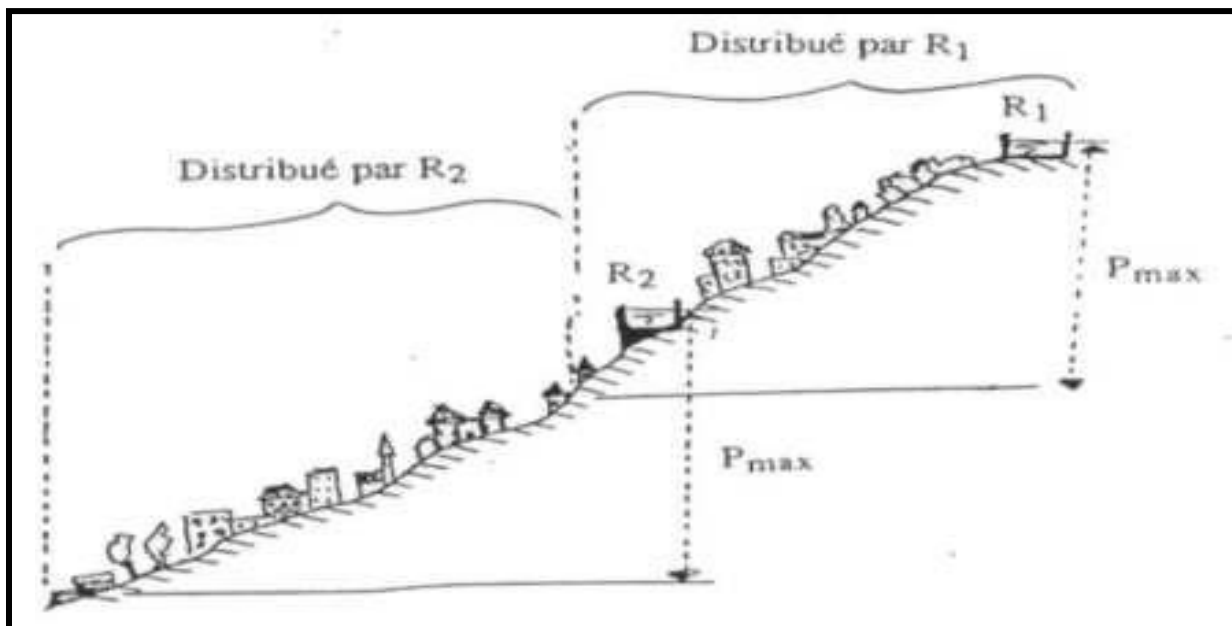


Figure IV-3 : Schéma d'un réseau combiné

I.4) Réseau étagé

Ce réseau est caractérisé par une différence de niveau très important, ce qui entraîne de fortes pressions au point le plus bas. En effet ce système nécessite l'installation d'un réservoir intermédiaire, permettant une régularisation de la pression [4].



N.B :

Comme la zone d'Ammamir est une agglomération de faible densité on opte pour le réseau ramifier.

I.5) Conception d'un réseau

Pour la conception d'un réseau de distribution, il est nécessaire de tenir compte de certains facteurs :

- L'emplacement des quartiers.
- L'emplacement des consommateurs.
- Le relief.

II. ETUDE DES VARIANTES

L'étude des variantes compte tenu des objectifs assignés à cette étude doit prendre en considération toutes les données actuelles et celle à venir. Aussi les besoins déjà évalués en tenant compte des horizons fixés par l'administration doivent être dans une large mesure satisfaite par les aménagements à proposer

Le débit fixé et à prélever du système existant à partir de l'adduction Resrvoire (5000 m³)

Figure IV-4 : Schéma d'un réseau étagé vers le resrvoire (1000 m³) projte doit être intégré au niveau de chaque variante en tenant compte des ratios à évaluer pour la faction Ammamir.

À ce titre, les ouvrage de stockage doivent être intégrées dans les systèmes projetés

Les ressources actuellement mobilisées seront prises en considération et utilisées directement dans le système d'alimentation

Les variante, soit réalisable du point de vue technique et qu'elle soit, bien adaptée avec l'importance du projet et ses conditions aussi bien topographiques que géologiques. La variante qui sera choisie, devra être économique, nous faire une étude technico-économique entre les variantes proposées. La variante choisie, fera l'objet d'une étude détaillée.

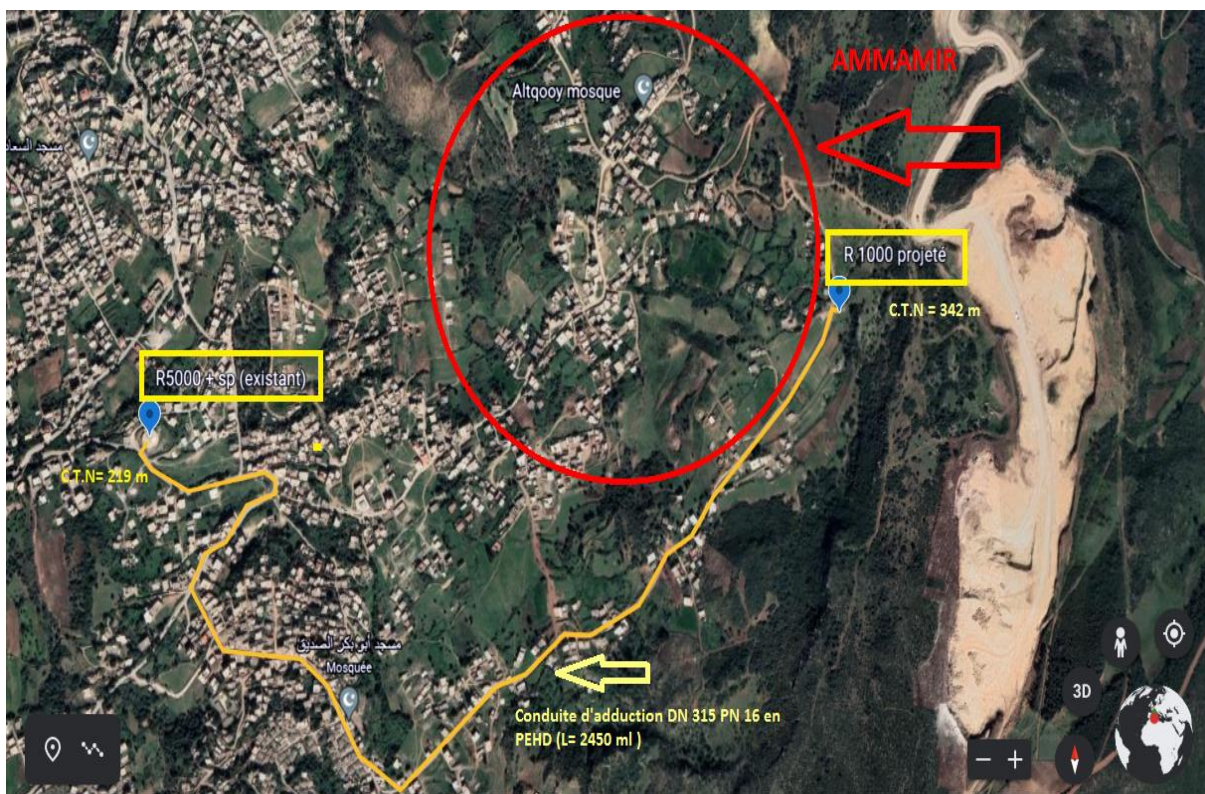
Pour cette étude, nous propose deux variantes pour le système d'AEP de Ammamir

V.1) Première variante

Cette variante consiste à utiliser le réservoir projeté 1000 m³ de cote 342.00 pour alimenter le réseau projeté, l'emplacement du réservoir projeté et acté de la source.

Cette variante consiste à :

- Projeter une conduite d'adduction DN315 PEHD sur linéaire de 2450 ml pour alimenter le réservoir (1000m³) projeté
- Projeter une Conduite de distribution de diamètre 160 mm en PEHD à partir de réservoir projeté 1000 m³ sur une longueur de 800ml, le tracé de la conduite sui le cheminement de la piste descende vers le centre de Ammamir. Cette conduite raccordée directement sur la maille projetée.
- Projeté des plusieurs tronçons de différent diamètre en PEHD (DN125, DN110, DN90, DN63 et DN40).
- Mettre toutes les pièces et les vannes de sectorisation nécessaires sur le réseau de distribution.
- Installer des compteurs particuliers.



V.2) Deuxième variante

Cette variante consiste à utiliser le réservoir projeté 1000 m³ de côte 355.00 pour alimenter le réseau mais avec le changement de l'emplacement de l'assiette du réservoir sur un point plus haute :

Cette variante consiste à :

- Projeter une conduite d'adduction DN315 PEHD sur linéaire de 2090 ml pour alimenter le réservoir 1000 m³ projeté
- Projeter une Conduite de distribution de diamètre 160 mm en PEHD à partir de réservoir projeté 1000 m³ sur une longueur de 1150 ml, le tracé de la conduite sui le cheminement de la piste descende vers le centre de Ammamir. Cette conduite raccordée directement sur la maille projetée.
- Projeté des plusieurs tronçons de différent diamètre en PEHD (DN125, DN110, DN90, DN63 et DN40).
- Mettre toutes les pièces et les vannes de sectorisation nécessaires sur le réseau de distribution.

Figure IV-5 variante 01

CHAPITRE IV : CALCULE HYDRAULIQUE

- Installer des compteurs particuliers.

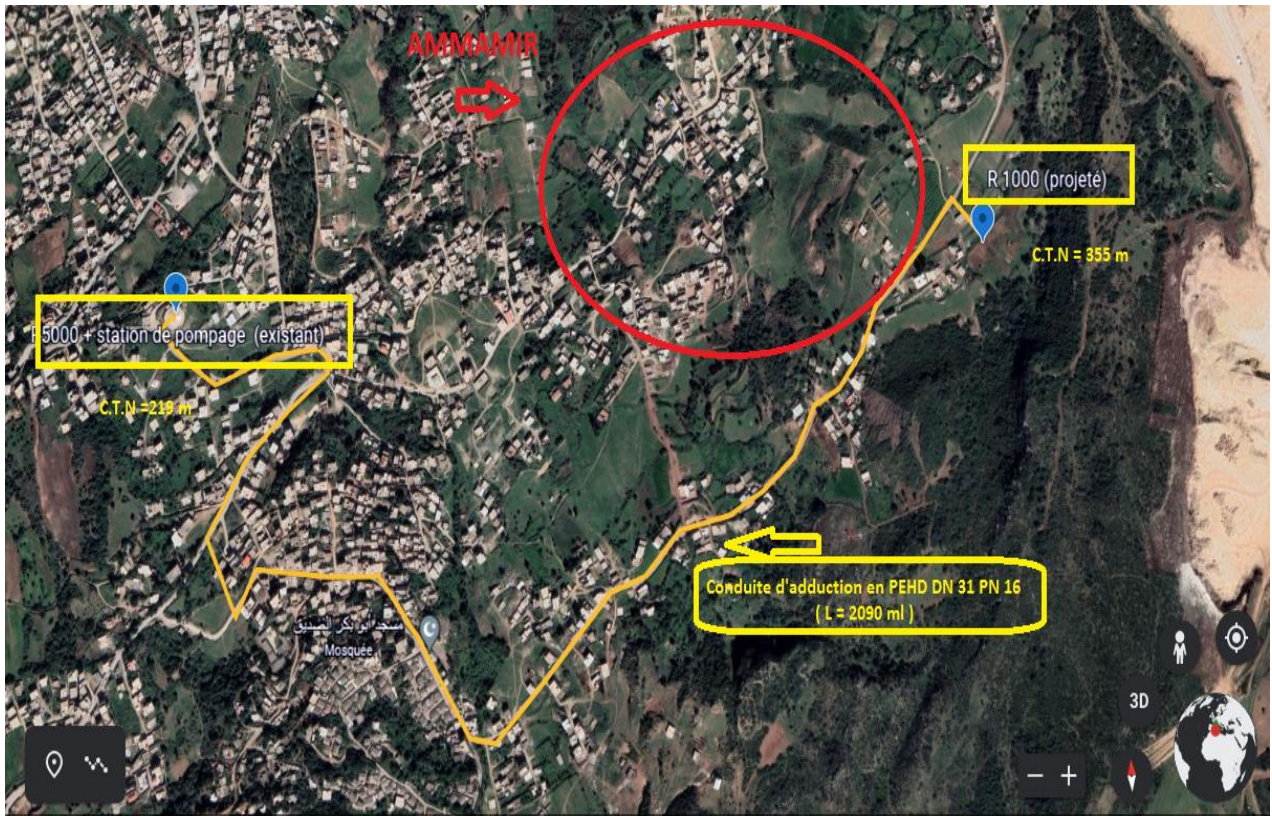


Figure IV-6 variante 02

V.3) Comparaison Technique

Tableau IV-1 comparaison technique entre les 2 variante

| | Emplacement de reservoir (Cote piésométrique) | Distance d'adduction (R5000) ext /(R1000) prjt | Distance entre (R1000) prjt / ammamire | Type et diamètre De conduite D adduction | Type et diamètre De conduite De distribution |
|-------------|---|--|--|--|--|
| Variante 01 | 342.00 | 2450 ML | 800 ML | DN315 PEHD | PEHD (DN125, DN110, DN90, DN63 et DN40). |
| Variante 02 | 355.00 | 2090 ML | 1150 ML | DN315 PEHD | PEHD (DN125, DN110, DN90, DN63 et DN40). |

Techniquement toutes les variantes traitent de manière cohérente l'alimentation projetée pour Ammamir et cela sous différentes combinaisons entre l'emplacement du réservoir projeté 1000 m³ et l'adduction à partir réservoir (5000 m³)

En matière de réalisation aucune variante proposée ne présente de contrainte technique cependant en matière d'exploitation et d'entretien l'avantage revient à la variante qui donne un meilleur mode de gestion et assurer la couverture d'alimentation en équilibre courte et à long terme.

D'après les avantages et les inconvénients de chaque variante, nous a opté pour la **deuxième variante** selon les critères suivants :

- Possibilité d'alimenter d'autre quartier.
- Plus loin de périmètre de gisement de ciment (cimenterai de Meftah).
- Assurer le bon fonctionnement de l'adduction à partir la station de pompage du R5000 m³.
- Une bonne réparation des pressions.
- Une bonne réparation des débits et vitesse.

III. Présentation du logiciel [5]

Le calcul hydraulique du réseau est effectué par le logiciel de calcul EPANET version 2.0.

EPANET est un logiciel développé pour la simulation du comportement des systèmes de distribution d'eau d'un point de vue hydraulique et également d'un point de vue qualité de l'eau.

L'utilisation d'EPANET est très diversifiée, et porte principalement sur :

- La régulation des pressions dans le réseau,
- La détection des zones de fonctionnement déficitaire
- Le dimensionnement de travaux d'amélioration du réseau ou d'extension
- L'évolution de la qualité de l'eau et l'étude de traitement en différents points du réseau
- L'amélioration de la gestion des équipements (marnage des réservoirs.), des coûts énergétiques (fonctionnement des stations de pompage.), du contrôle des débits d'eau (sectorisation du réseau.), de la gestion de crise (suppression d'une ressource, rupture d'une canalisation maîtresse, introduction de contaminants dans le réseau.).

EPANET est un logiciel de simulation du comportement hydraulique et qualitatif de l'eau sur de longues durées dans les réseaux sous pression. Un réseau est un ensemble de tuyaux, nœud (jonctions de tuyau), pompes, vannes, bâches et réservoirs. EPANET calcule le débit dans chaque tuyau, la pression à chaque nœud, le niveau de l'eau dans les réservoirs, et la concentration en substances chimiques dans les différentes parties du réseau, au cours d'une durée de simulation divisée en plusieurs étapes. Le logiciel est également capable de calculer les temps de séjour et de suivre l'origine de l'eau. [5].

EPANET a pour objectif une meilleure compréhension de l'écoulement et de l'usage de l'eau dans les systèmes de distribution. Il peut être utilisé pour différents types d'application

Dans l'analyse des systèmes de distribution. En voici quelques exemples : définition d'un programme de prélèvement d'échantillons, calage d'un modèle hydraulique, simulation du chlore résiduel, et estimation de l'exposition de la population à une substance. EPANET offre une aide à la recherche de stratégies alternatives pour gérer le réseau, comme par exemple :

- Utilisation en alternance des différentes ressources du système,
- Modifier le régime de pompage ou de marnage des réservoirs,
- Préciser l'usage des stations de recoloration (ou autres retraitements) en réseau,
- Planifier l'entretien et le remplacement de certaines canalisations.

Disponible sous Windows, EPANET fournit un environnement intégré pour l'édition de données de réseau, pour l'exécution de simulations hydrauliques et de simulations qualité, et pour l'affichage des résultats sous plusieurs formats (des cartes avec des codes couleurs, des tableaux et des graphiques) [5].

IV. Capacités pour la Modélisation Hydraulique

Une modélisation hydraulique scrupuleuse et complète est la première condition pour pouvoir modéliser la qualité de l'eau de manière efficace. EPANET contient un moteur de calcul hydraulique moderne ayant les caractéristiques suivantes :

- La taille du réseau étudié est illimitée.
- Pour calculer les pertes de charge dues à la friction, il dispose des formules de Hazen-Williams, Darcy-Weisbach, et Chezy-Manning.
- Il inclut les pertes de charge singulières aux coudes, aux tés, etc.
- Il peut modéliser des pompes à vitesse fixe ou variable.
- Il peut calculer l'énergie consommée par une pompe et son coût.
- Il peut modéliser différents types de vannes, comme des clapets anti retour, des vannes de contrôle de pression ou débit, des vannes d'arrêt, etc.
- Les réservoirs peuvent avoir des formes variées (le diamètre peut varier avec la hauteur).
- Il peut y avoir différentes catégories de demandes aux nœuds, chacune avec une caractéristique propre.
- Il peut modéliser des consommations dépendantes de la pression (buses par exemple).
- Le fonctionnement de station de pompage peut être piloté par des commandes simples, (heures de marche/arrêt en fonction du niveau d'un réservoir) ou des commandes élaborées plus complexes.

V. Calcul hydraulique du réseau

Le calcul hydraulique du réseau est basé sur deux hypothèses principales :

- Apport du réseau de distribution 24 heures/24 heures.
- Consommation du débit est uniforme le long de la conduite.
- L'heure de pointe correspond à la période où la consommation atteint son maximum.

IV.1) Débit en route

Le débit en route assure un service en route pour chaque tronçon de canalisation. Il est considéré comme étant consommé uniformément sur toute la longueur du tronçon. Ce débit peut être déterminé par l'expression suivante :

$$Q_r = Q_{pte} - \sum Q_{con}$$

Q_{pte} : Débit de pointe

∑ Q_{con} : la somme des débits concentrés, ces derniers sont déjà des débits qui circulent dans le réseau de distribution sans y être consommés

IV.2) Calcul des débits par tronçon (Q_{tr})

Ces débits sont obtenus par :

$$Q_{tr} = Q_{sp} \times L_i$$

IV.3) Calcul des débits soutirés (Q_{ndi})

Le débit soutiré est appelé également débit nodal, comme son nom l'indique c'est le débit qui sort au niveau de chaque nœud du réseau, pour alimenter les usagers.

Le débit au nœud se détermine par le biais de l'expression suivante :

$$Q_{ndi} = 0.5 \times \sum Q_{tri}$$

Le débit maximum horaire est représenté dans le tableau suivant :

Tableau IV-2 : Débits maximum horaire

| Communes | Débit de pointe (Q _{max,h}) | | | |
|----------------|---------------------------------------|-------|---------------------|-------|
| | 2021 | | 2051 | |
| | (m ³ /h) | (l/s) | (m ³ /h) | (l/s) |
| AMMAMIR | 38.83 | 10.79 | 108.40 | 30.11 |

IV.4) Débits en Routes (Q_{route})

Le débit en route est donné par l'expression suivante :

$$Q_{route} = Q_{cons} - Q_{conc}$$

Avec :

Q_{cons} : débit de consommation pendant l'heure de transit en (l/s).

Q conc : débits concentrés en (l/s) = Q industrie + Q ferme.

Dans notre cas : Q industries = Q ferme = 0.

$$\mathbf{Q_{route} = Q_{max}}$$

IV.5) Débits spécifiques (Qsp)

Ce débit est défini comme étant le volume d'eau transitant à travers un mètre de conduite pendant une seconde.

$$\mathbf{Q_{sp} = Q_r / \sum L_i}$$

$\sum L_i$: la somme des longueurs de tous les tronçons formant le réseau.

$$\mathbf{Q_{sp} = \frac{Q_{route}}{\sum L_i} = [l/s/m]}$$

$$\mathbf{Q_{sp} = 30.11 / 5278.6 = 0.0057042}$$

Les débits aux nœuds sont obtenus comme suit :

$$Q_{ri} = Q_{sp} \cdot l_i$$

$$Q_{nd} = 0.5 \sum Q_{ri} + Q_{conc}$$

CHAPITRE IV : CALCULE HYDRAULIQUE

Tableau IV-3 Débits aux nœuds.

| N° | du nœud au nœud | Longueur du Tronçon (m) | Q sp (l/s/ml) | Q tronçon (l/s) | 0,5*Q tronçon (l/s) | Q nœud (l/s) |
|-----|-----------------|-------------------------|---------------|-----------------|---------------------|--------------|
| N1 | N1--R1(5000m3) | 25 | 0.0057042 | 0.14260 | 0.071302088 | 0.07 |
| N2 | N2--R500 | 348 | | 1.9850 | 1.843016358 | 1.84 |
| | N2--N3 | 183 | | 1.04386 | | |
| | N2--N4 | 438.2 | | 2.49957 | | |
| N3 | N3--N2 | 183 | | 1.04386 | 0.521931281 | 0.52 |
| N4 | N4--N2 | 438.2 | | 2.49957 | 2.242308048 | 2.24 |
| | N4--N5 | 293.2 | | 1.67246 | | |
| | N4--N33 | 348 | | 1.98505 | | |
| N5 | N5--N4 | 293.2 | | 1.67246 | 1.431261063 | 1.43 |
| | N5--N6 | 24.93 | | 0.14220 | | |
| | N5--N9 | 183.7 | | 1.04786 | | |
| N6 | N6--N5 | 24.93 | | 0.14220 | 0.305229976 | 0.31 |
| | N6--N7 | 27.52 | | 0.15698 | | |
| | N6--N27 | 54.57 | | 0.31128 | | |
| N7 | N7--N6 | 27.52 | | 0.15698 | 0.614652515 | 0.61 |
| | N7--N8 | 109.3 | | 0.62347 | | |
| | N7--N25 | 78.69 | | 0.44886 | | |
| N8 | N8--N7 | 109.3 | | 0.62347 | 0.365351896 | 0.37 |
| N9 | N9--N5 | 183.7 | | 1.04786 | 1.013972726 | 1.01 |
| | N9--N10 | 128.1 | | 0.73070 | | |
| | N9--N11 | 43.72 | | 0.24939 | | |
| N10 | N10--N9 | 128.1 | | 0.73070 | 0.365351896 | 0.37 |
| N11 | N11--N9 | 43.72 | | 0.24939 | 0.936681263 | 0.94 |
| | N11--N12 | 148 | | 0.84422 | | |
| | N11--N13 | 136.7 | | 0.77976 | | |
| N12 | N12--N11 | 148 | | 0.84422 | 0.422108358 | 0.42 |
| N13 | N13--N11 | 136.7 | | 0.77976 | 0.910128366 | 0.91 |
| | N13--N14 | 85.91 | | 0.49004 | | |
| | N13--N15 | 96.5 | 0.55045 | | | |
| N14 | N14--N13 | 85.91 | 0.49004 | 0.245022493 | 0.25 | |
| N15 | N15--N13 | 96.5 | 0.55045 | 0.901828803 | 0.90 | |
| | N15--N16 | 117.9 | 0.67252 | | | |
| | N15--N17 | 101.8 | 0.58068 | | | |
| N16 | N16--N15 | 117.9 | 0.67252 | 0.336260645 | 0.34 | |
| N17 | N17--N15 | 101.8 | 0.58068 | 0.521531989 | 0.52 | |
| | N17--N18 | 29.3 | 0.16713 | | | |
| | N17--N19 | 51.76 | 0.29525 | | | |
| N18 | N18--N17 | 29.3 | 0.16713 | 0.083566047 | 0.08 | |

CHAPITRE IV : CALCULE HYDRAULIQUE

| N° | du nœud au nœud | Longueur du Tronçon (m) | Q'sp (l/s/ml) | Q tronçon (l/s) | 0,5*Q tronçon (l/s) | Q nœud (l/s) |
|-----|-----------------|-------------------------|---------------|-----------------|---------------------|--------------|
| N19 | N19--N17 | 51.76 | 0.0057042 | 0.29525 | 1.187778694 | 1.19 |
| | N19--N20 | 151.3 | | 0.86304 | | |
| | N19--N21 | 213.4 | | 1.21727 | | |
| N20 | N20--N19 | 151.3 | | 0.86304 | 0.431520234 | 0.43 |
| N21 | N21--N19 | 213.4 | | 1.21727 | 1.995602825 | 2.00 |
| | N21--N22 | 197.2 | | 1.12486 | | |
| | N21--N23 | 289.1 | | 1.64907 | | |
| N22 | N22--N21 | 197.2 | | 1.12486 | 0.562430866 | 0.56 |
| N23 | N23--N21 | 289.1 | | 1.64907 | 1.488702024 | 1.49 |
| | N23--N24 | 96.87 | | 0.55256 | | |
| | N23--N25 | 136 | | 0.77577 | | |
| N24 | N24--N23 | 96.87 | | 0.55256 | 0.276281329 | 0.28 |
| N25 | N25--N23 | 136 | | 0.77577 | 0.762903815 | 0.76 |
| | N25--N26 | 52.8 | | 0.30118 | | |
| | N25--N7 | 78.69 | | 0.44886 | | |
| N26 | N26--N25 | 52.8 | | 0.30118 | 0.150590009 | 0.15 |
| N27 | N27--N28 | 60 | | 0.34225 | 0.518879551 | 0.52 |
| | N27--N29 | 67.36 | | 0.38423 | | |
| | N27--N7 | 54.57 | | 0.31128 | | |
| N28 | N28--N27 | 60 | | 0.34225 | 0.17112501 | 0.17 |
| N29 | N29--N27 | 67.36 | | 0.38423 | 0.477666945 | 0.48 |
| | N29--N30 | 63 | | 0.35936 | | |
| | N29--N31 | 37.12 | | 0.21174 | | |
| N30 | N30--N29 | 63 | | 0.35936 | 0.179681261 | 0.18 |
| N31 | N31--N29 | 37.12 | | 0.21174 | 0.498743842 | 0.50 |
| | N31--N32 | 76.07 | | 0.43392 | | |
| | N31--N33 | 61.68 | | 0.35183 | | |
| N32 | N32--N31 | 76.07 | | 0.43392 | 0.216957992 | 0.22 |
| N33 | N33--N4 | 348 | | 1.98505 | 3.494886079 | 3.49 |
| | N33--N31 | 61.68 | | 0.35183 | | |
| | N33--N34 | 236.6 | 1.34961 | | | |
| | N33--N36 | 579.1 | 3.30328 | | | |
| N34 | N34--N33 | 236.6 | 1.34961 | 1.309961952 | 1.31 | |
| | N34--N35 | 116 | 0.66168 | | | |
| | N34--N36 | 106.7 | 0.60863 | | | |
| N35 | N35--N34 | 116 | 0.66168 | 0.330841686 | 0.33 | |
| N36 | N36--N34 | 106.7 | 0.60863 | 2.011574493 | 2.01 | |
| | N36--N33 | 579.1 | 3.30328 | | | |
| | N36--N37 | 19.5 | 0.11123 | | | |
| N37 | N37--N36 | 19.5 | 0.11123 | 0.055615628 | 0.06 | |

VI. RESULTATS DES SIMULATIONS DE LA SITUATION FUTURE

L'objectif est de simuler le fonctionnement du réseau à l'horizon 2051 sur la base des différents projets d'urbanisme et des besoins de pointe estimés à cet horizon, résumés dans le chapitre précédemment,

VI.1) Pressions

Les résultats de la simulation effectués tout au long de la journée permettent d'observer, une forte pression générale sur le réseau, visible sur le schéma ci-dessous sur les nœuds.

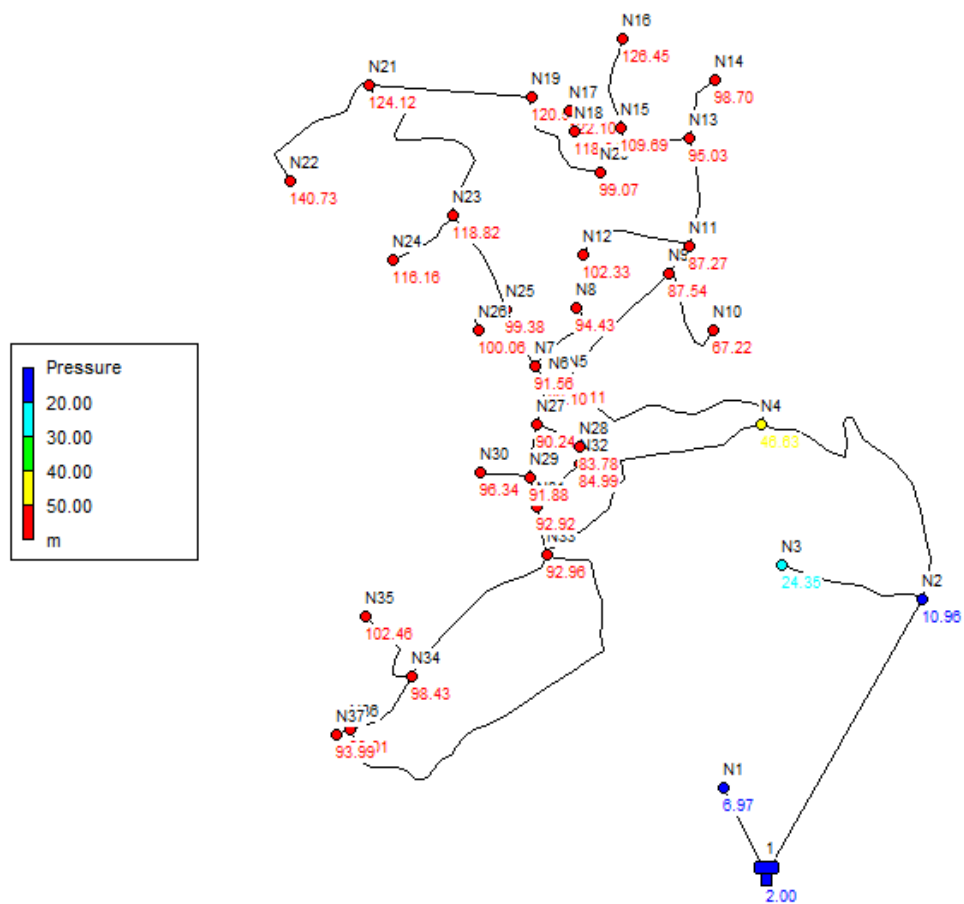


Figure IV-7 présentation des pressions aux nœuds du réseau

Les résultats de la simulation permettent d'observer, une pression maximale 14 bars (inferieur a 16 bars) donc une conduite en PEHD PN16 et largement suffisante pour les déférents traçons de notre réseau.

CHAPITRE IV : CALCULE HYDRAULIQUE

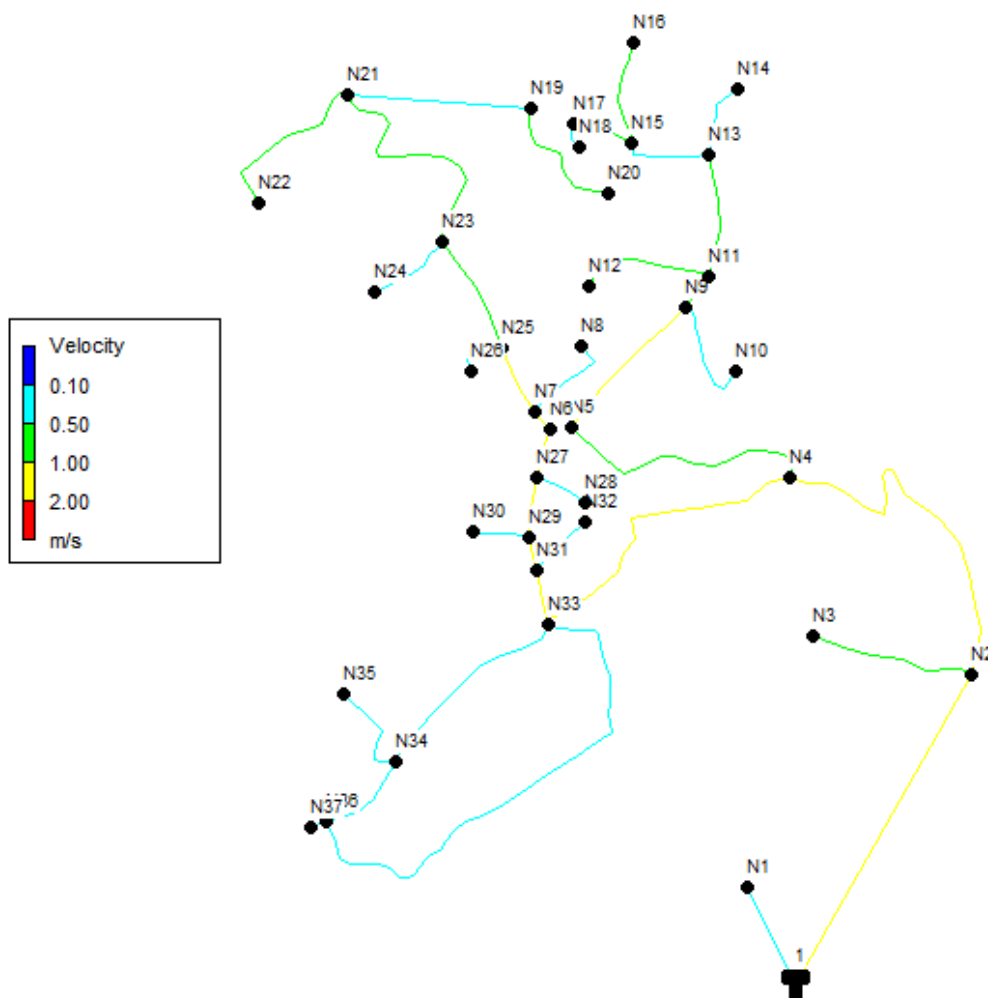
| Node ID | Elevation m | Demand LPS | Pressure m |
|----------|----------------|---------------|---------------|
| Junc N5 | 252 | 1.43 | 94.11 |
| Junc N9 | 253 | 1.01 | 87.54 |
| Junc N6 | 250 | 0.31 | 89.10 |
| Junc N4 | 302 | 2.24 | 46.63 |
| Junc N33 | 251 | 3.49 | 92.96 |
| Junc N7 | 247 | 0.61 | 91.56 |
| Junc N36 | 250 | 2.01 | 93.01 |
| Junc N21 | 210 | 2.00 | 124.12 |
| Junc N19 | 213 | 1.19 | 120.51 |
| Junc N17 | 214 | 0.52 | 122.10 |
| Junc N18 | 218 | 0.08 | 118.04 |
| Junc N20 | 228 | 0.43 | 99.07 |
| Junc N16 | 209 | 0.34 | 126.45 |
| Junc N15 | 229 | 0.90 | 109.69 |
| Junc N22 | 189 | 0.56 | 140.73 |
| Junc N13 | 244 | 0.91 | 95.03 |
| Junc N14 | 239 | 0.25 | 98.70 |
| Junc N11 | 253 | 0.94 | 87.27 |
| Junc N12 | 236 | 0.42 | 102.33 |
| Junc N10 | 272 | 0.37 | 67.22 |
| Junc N23 | 217 | 1.49 | 118.82 |
| Junc N24 | 219 | 0.28 | 116.16 |
| Junc N31 | 250 | 0.50 | 92.92 |
| Junc N31 | 250 | 0.50 | 92.92 |
| Junc N32 | 257 | 0.22 | 84.99 |
| Junc N29 | 250 | 0.48 | 91.88 |
| Junc N30 | 245 | 0.18 | 96.34 |
| Junc N27 | 250 | 0.52 | 90.24 |
| Junc N28 | 256 | 0.17 | 83.78 |
| Junc N2 | 342 | 1.84 | 10.96 |
| Junc N3 | 325 | 0.52 | 24.35 |
| Junc N8 | 243 | 0.37 | 94.43 |
| Junc N25 | 238 | 0.76 | 99.38 |
| Junc N26 | 237 | 0.15 | 100.06 |
| Junc N34 | 245 | 1.31 | 98.43 |
| Junc N37 | 249 | 0.06 | 93.99 |
| Junc N35 | 240 | 0.33 | 102.46 |
| Junc N1 | 350 | 0.07 | 6.97 |
| Tank 1 | 355 | -29.26 | 2.00 |

Figure IV-8 présentation des nœuds cas de pointe a 00 :00h

VI.2) Vitesse

Le modèle montre que les vitesses maximales simulées sont globalement satisfaisantes (< 2 m/s).

La vitesse reste en effet inférieure à 0,5 m/s sur les tronçons que se trouvent dans des endroits isolés et avec un nombre d'habitant négligeable. Sur l'ensemble du réseau de distribution. Les vitesses sont acceptables.



FigureIV-9 présentation des vitesses maximales du réseau

VI.3) Perte de charge unitaire

Les valeurs maximales de pertes de charge unitaires simulées sur le réseau sont globalement satisfaisantes sur l'ensemble du réseau, avec des valeurs ne dépassant pas les 5 m/km sur la majorité du réseau. Des pertes de charge dépassée 10 m/km sont visibles sur les tronçons où de fortes vitesses ont été simulées, soit la conduite de distribution. Ces pertes de charge restent tout de même acceptables.

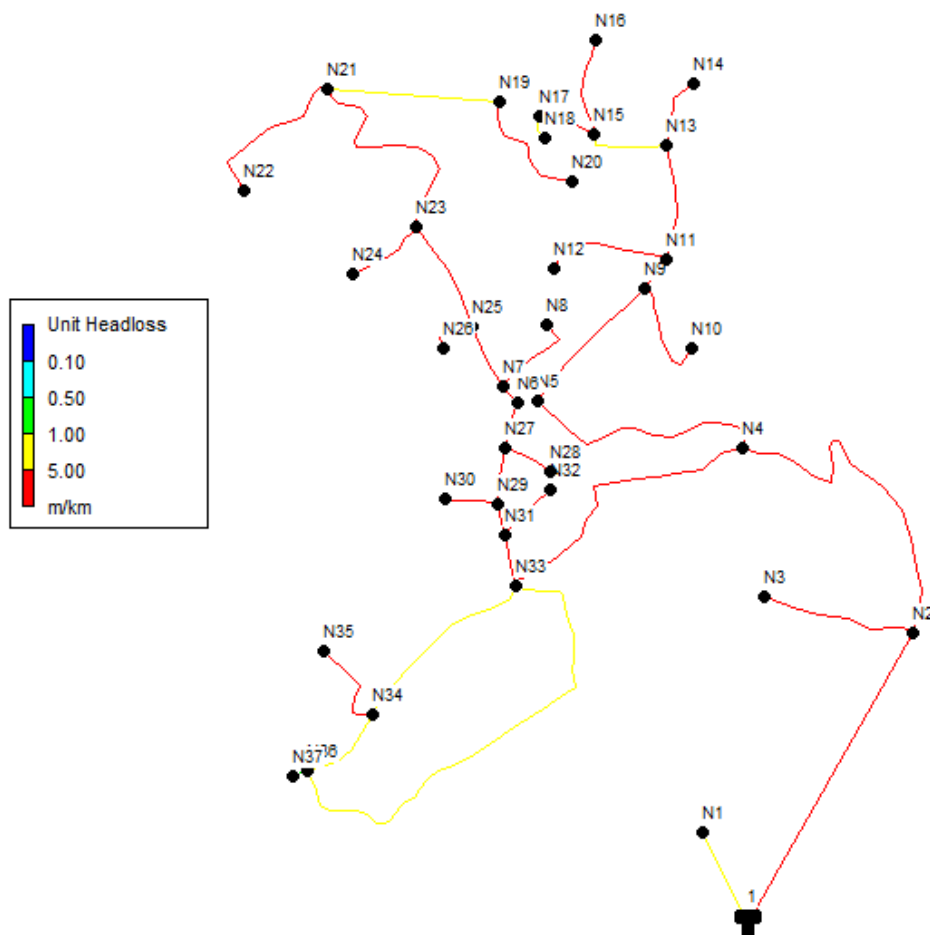
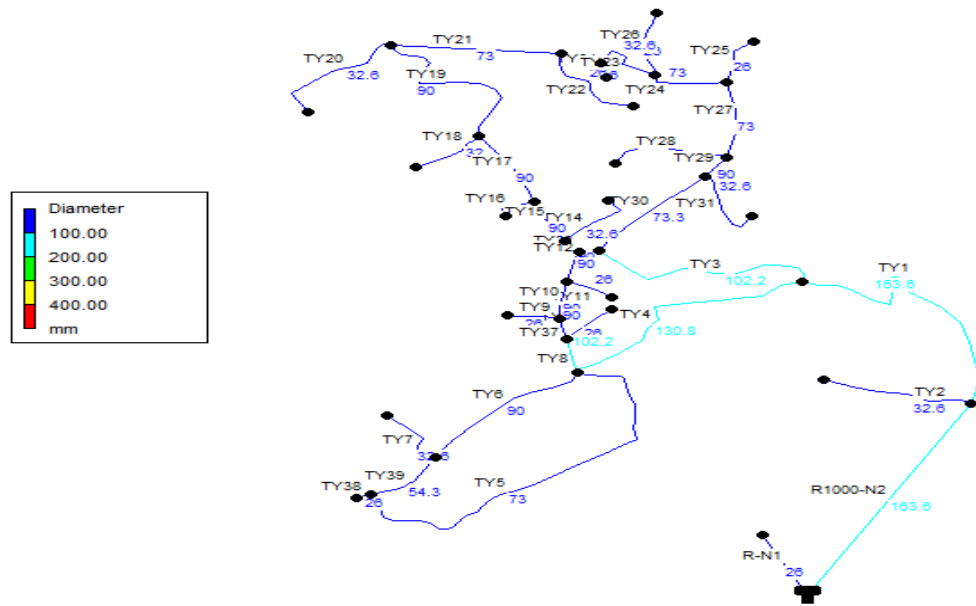


Figure IV-10 présentation Perte des charges maximales cas de pointe

VI.4) Diamètre de Conduite



| Link ID | Flow LPS | Velocity m/s | Unit Headloss m/km |
|-----------|----------|--------------|--------------------|
| Pipe TY30 | 5.74 | 1.36 | 30.32 |
| Pipe TY4 | 17.42 | 1.30 | 13.42 |
| Pipe TY33 | 7.84 | 1.23 | 19.39 |
| Pipe TY5 | 1.20 | 0.29 | 1.65 |
| Pipe TY34 | 0.08 | 0.15 | 1.99 |
| Pipe TY22 | 0.43 | 0.81 | 42.59 |
| Pipe TY26 | -0.34 | 0.64 | 27.44 |
| Pipe TY20 | 0.56 | 0.67 | 22.30 |
| Pipe TY25 | 0.25 | 0.47 | 15.53 |
| Pipe TY28 | 0.42 | 0.50 | 13.06 |
| Pipe TY31 | 0.37 | 0.44 | 10.34 |
| Pipe TY18 | 0.28 | 0.35 | 6.81 |
| Pipe TY35 | 0.22 | 0.41 | 12.28 |
| Pipe TY9 | 0.18 | 0.34 | 8.52 |
| Pipe TY11 | 0.17 | 0.32 | 7.68 |
| Pipe TY2 | 0.52 | 0.62 | 19.42 |
| Pipe TY14 | 0.37 | 0.44 | 10.34 |
| Pipe TY16 | 0.15 | 0.28 | 6.13 |
| Pipe TY12 | -8.15 | 1.28 | 20.89 |
| Pipe TY29 | 4.36 | 0.69 | 6.36 |
| Pipe TY27 | 3.00 | 0.72 | 9.01 |
| Pipe TY24 | -1.84 | 0.44 | 3.62 |
| Pipe TY23 | -0.60 | 0.72 | 25.38 |

Figure IV-11
présentation des conduites de réseaux

CHAPITRE IV : CALCULE HYDRAULIQUE

| | | | |
|---------------|--------|------|-------|
| Pipe TY23 | -0.60 | 0.72 | 25.38 |
| Pipe TY19 | 4.18 | 0.66 | 5.88 |
| Pipe TY17 | 5.95 | 0.94 | 11.46 |
| Pipe TY15 | 6.86 | 1.08 | 15.02 |
| Pipe TY10 | -8.84 | 1.39 | 24.42 |
| Pipe TY37 | -9.50 | 1.49 | 28.04 |
| Pipe TY8 | -10.22 | 1.25 | 16.89 |
| Pipe TY6 | 2.51 | 0.39 | 2.27 |
| Pipe TY38 | 0.06 | 0.11 | 0.83 |
| Pipe TY3 | 7.17 | 0.87 | 8.59 |
| Pipe TY1 | 26.83 | 1.28 | 9.87 |
| Pipe TY39 | 0.87 | 0.38 | 3.94 |
| Pipe TY7 | 0.33 | 0.40 | 8.38 |
| Pipe R1000-N2 | 29.19 | 1.39 | 11.61 |
| Pipe R-N1 | 0.07 | 0.13 | 1.37 |
| Pipe TY21 | -1.62 | 0.39 | 2.86 |

Figure IV-12 présentation différent paramètre des conduites

Conclusion

Dans ce chapitre, nous avons présente le type de notre réseau et propose deux variantes et on a déterminé les diamètres des tronçons en vérifiant les vitesses et les pressions au niveau des tronçons et nœuds ; pour un bon fonctionnement du système d'alimentation en eau potable.

Nous avons fait le dimensionnement du réseau d'étude avec le logiciel EPANET qui donne des résultats plus précis

INTRODUCTION

L'acheminement de l'eau pour n'importe quel réseau d'alimentation en eau potable doit avoir Une adduction, soit par pompage, soit gravitaire soit mixte.

L'adduction des eaux consiste à étudier les voies et moyens, tant sur le plan technico économique, En vue d'acheminer les eaux prélevées, soit vers leur lieu d'accumulation, soit Directement vers les zones de leur consommation.

I. Type d'adduction

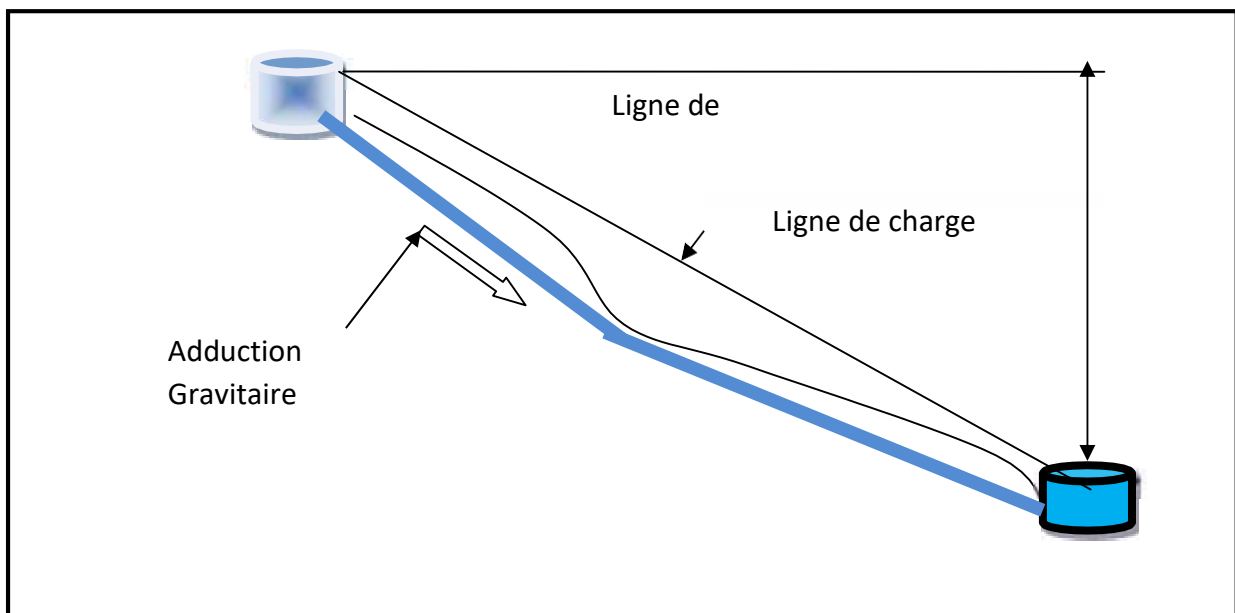
D'après leur fonctionnement, on distingue trois types d'adduction :

- Adduction gravitaire
- Adduction par refoulement
- Adduction mixte [6].

I.1) Adduction gravitaire

- La source se situe à une cote supérieure à celle de l'ouvrage d'arrivé.
- L'écoulement peut y Être en charge (le plus souvent), ou à surface libre (canaux à ciel ouvert ou aqueducs fermés).
- L'écoulement se fait sous la seule action de pesanteur [6].

Le schéma d'adduction gravitaire est représenté dans la figure suivante :



I.2) Adduction par refoulement

La cote de la source est inférieure à celle de l'ouvrage d'arrivée. L'installation d'un système de pompage donc est nécessaire (écoulement en charge) [6].

Le schéma d'adduction par refoulement est représenté dans la figure (V.2) ci-dessous :

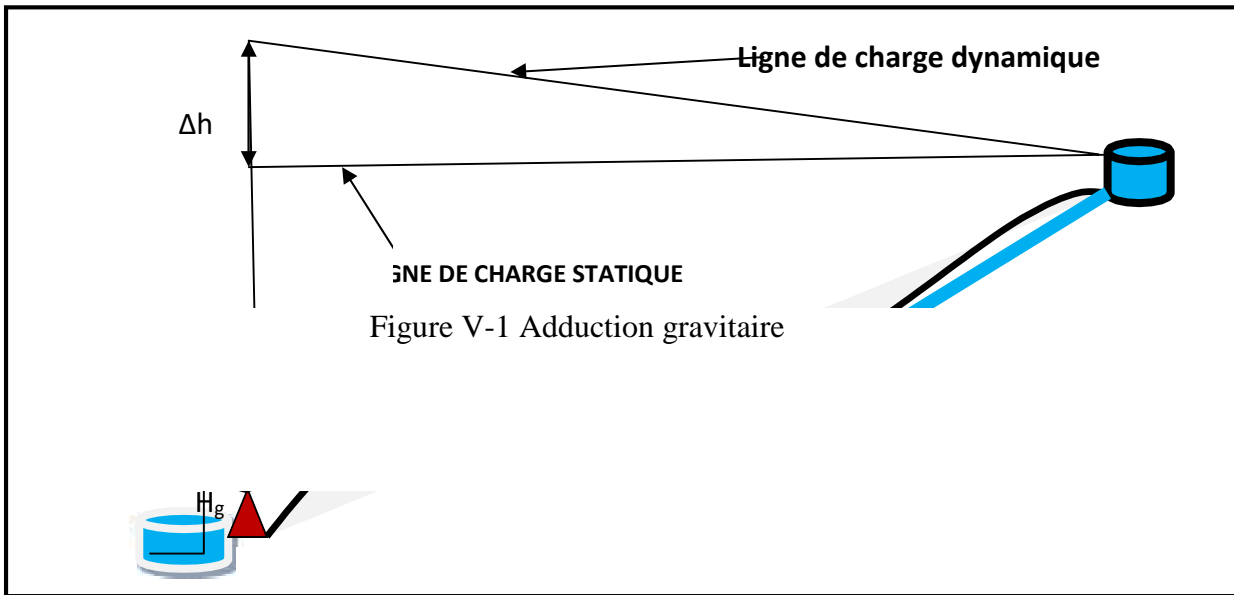


Figure V-2 Adduction par refoulement

I.3) Adduction mixte

Rencontrée lorsque la configuration du site nous impose l'installation d'un ouvrage Intermédiaire recevant l'eau gravitairement ou par refoulement, et que cette eau est par la suite refoulée ou envoyée gravitairement vers le réservoir de l'agglomération [6].

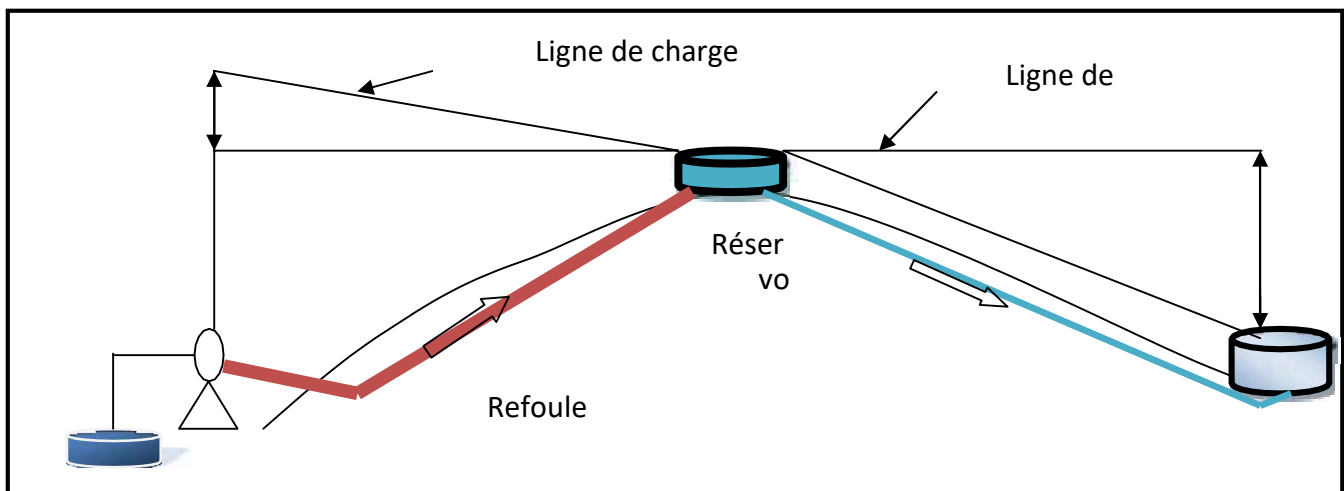


Figure V-3 adduction mixte refoulement-gravitaire

II. Type d'écoulement

On distingue deux types d'écoulement :

II.1) Écoulement à surface libre

L'écoulement à surface libre se fait sans charge c'est-à-dire à la pression atmosphérique. On

Rencontre ce type d'écoulement dans les aqueducs fermés et les canaux d'amenée à ciel

Ouvert. [6]

II.2) Écoulement en charge

L'écoulement en charge se manifeste grâce à une certaine pression qui est supérieure à la

Pression atmosphérique. On rencontre ce type d'écoulement dans des réseaux sous pression

Ou dans les adductions par refoulement [6].

III. Calcul hydraulique des adductions

Le réservoir existant R5000 m³, se trouvant à une cote de 219.00m, est situé au Sud de la ville Meftah.

Les eaux seront collectées après refoulement directement vers le réservoir 1000 m³ que se trouvant à une cote de 355 m (variante N° 02).

III.1) Choix du diamètre économique

Le choix du diamètre économique d'une tuyauterie résulte d'un compromis entre les dépenses d'investissements et les dépenses de fonctionnement ; c'est à dire, que ce choix est conditionné par deux facteurs opposés :

Afin d'obtenir un équilibre relatif entre ces deux facteurs (dépenses), le diamètre doit être judicieusement choisi, de façon à avoir l'optimum économique qui résulte de ces deux types de dépenses. Pour cela, on dispose de deux corrélations qui permettent l'approximation de ce diamètre économique DN :

FORMULE DE BONNIN :

$$DN1 = \sqrt{Q}$$

FORMULE DE BRESSE :

$$DN2 = 1.5\sqrt{Q}$$

Avec :

Q : Débit refoulé dans la conduite en m³/s.

Le choix final se portera sur le diamètre pour lequel le coût sera minimal et la vitesse

D'écoulement sera comprise entre 0.5 m/s et 1.5 m/s.

CHAPITRE V : CALCULE D'ADDICTION

III.2) Calcul de la vitesse

Elle est donnée par la formule suivante :

$$V = (4 \cdot Q) / (\pi \cdot D^2)$$

Avec :

Q : Débit refoulé dans la conduite en m³/s.

D : diamètre intérieur de la conduite en m.

Tableau V-1 Diamètres économiques des conduites de refoulement

| Tronçons | Longueur | Débit | Déc | Dnor | Vietsse |
|--|-------------|---------------------|--------------|---------------------|-------------|
| | (m) | (m ³ /s) | (mm) | (mm) | (m/s) |
| Tronçon projeté (Station de pompage N°1 du R5000 m³---- Réservoir 1000 m³ projeté). | 2090 | 0.030 | 0.259 | 315 PEHD | 0.57 |

III.3) Calcul des pertes de charge

On peut déterminer maintenant les différentes pertes de charges et par la suite les différentes côtes piézométriques, ainsi que les pressions aux nœuds, et les diamètres de chaque tronçon constituant la conduite principale.

Puisque nous avons les côtes du trop-plein dans chaque réservoir, les diamètres des conduites, les débits et les longueurs des tronçons, on peut calculer les pertes de charge :

$$\Delta H = K \cdot L \cdot Q^\beta / D^m$$

- Ou : K' : Caractéristique hydraulique qui dépend de matériaux de la conduite.
- m, β : Caractéristiques qui dépendent de régime d'écoulement dans les conduites.
- D : Diamètres des tronçons de la conduite principale.

| Type | K' | M | β |
|-------|--------------------|-----------|---------|
| Acier | 0.00179 | 5.1 à 5.3 | 1.9 à 2 |
| Fonte | 0.00179 à 0.001735 | 5.1 à 5.3 | 1.9 à 2 |
| PEHD | 0.001052 | 4.774 | 1.77 |

- β : exposant tenant compte du régime d'écoulement ($\beta = 1,77$).
- m : exposant tenant compte du type du matériau ($m = 4,774$).
- $K = 0,001052$
- Longueur de la conduite LAB du tronçon

$$\Delta H = 2.86 \text{ m}$$

On a:

- Débit: $Q = 0.03 \text{ m}^3/\text{s}$
- Longueur : $L = 2090 \text{ m}$
- Côte Terrain Naturel : CTN (R5000) = 219 m
- Côte Terrain Naturel = 355 m

Donc la Hauteur géométrique $H_g = 136 \text{ m}$

III.4) Détermination de la hauteur manométrique totale (Hmt)

Elle représente une hauteur d'élévation fictive qui résulte de la somme de la hauteur géométrique et les pertes de charge résultantes de l'aspiration et du refoulement.

$$H_{mt} = H_g + H_t$$

$$H_{mt} = 136 + 2.86 = 138.86$$

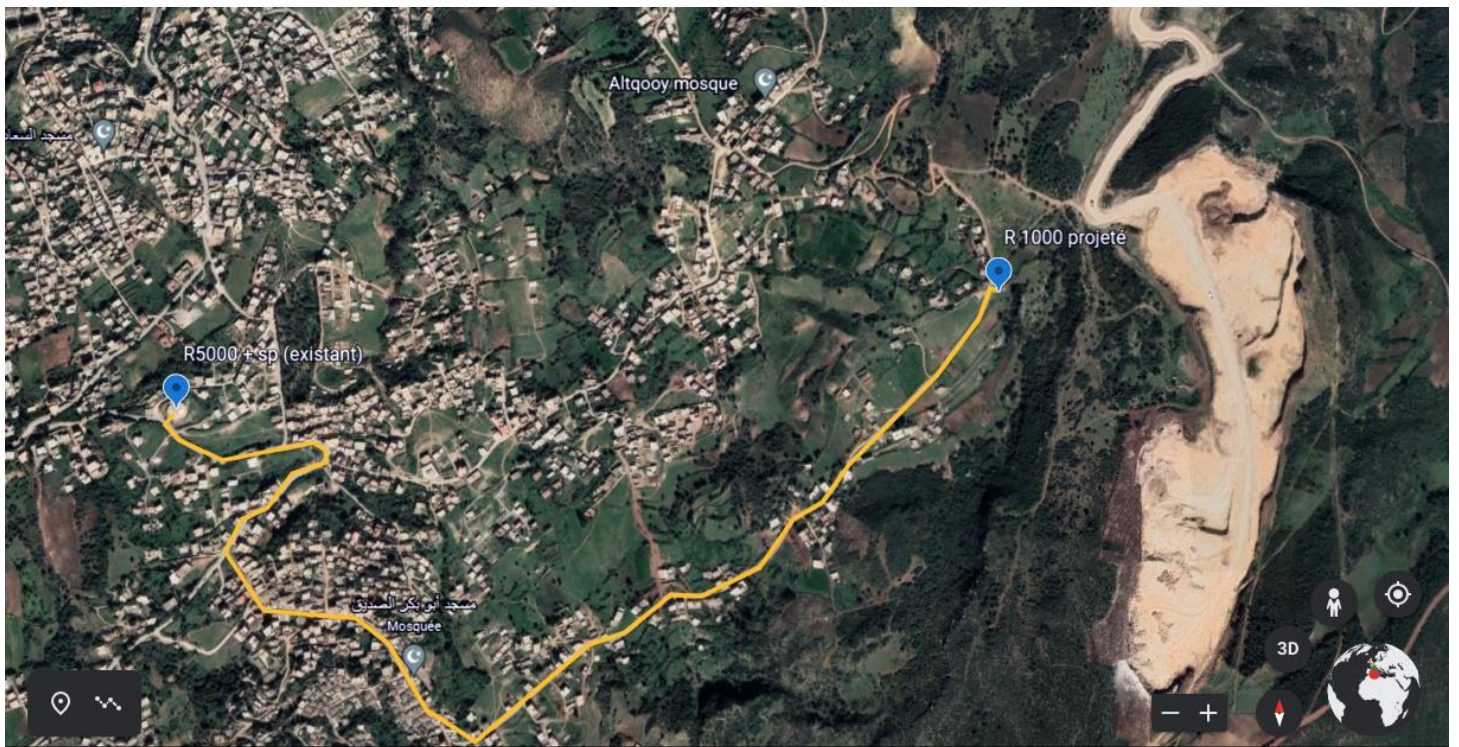


Figure V-4 Tracé en Plan Adduction à partir R5000 m3 (google earth).

CHAPITRE V : CALCULE D'ADDICTION

| Stations | Côte de | Côte | Diamètre | Longueur | P. Charge | Débit | HMT |
|--------------------------------------|------------|------------|------------|-------------|-------------|--------------|---------------|
| | Départ | D'arrivée | Conduite | Conduite | Totale | | |
| | (m) | (m) | (mm) | (m) | (m) | (l/s) | (m) |
| Station de pompage SP1/R1000 Projeté | 219 | 355 | 315 | 2090 | 2.86 | 30.00 | 138.86 |

Tableau V-2 tableau de calcul de l'Hmt

III.5) Vérification le modèle de calcul par Epanet



Figure V-5 profil piézométrique de l'adduction entre R5000 ET R1000 AMMAMIR

piézométrique

| Tronçons | Cote amont | Pression Point amont m | Cote Piézométrique amont | Q l/s | Longueur m | V m/s | PDC m/m | Φ mm | Nature de la conduite | Pression Nominale (Bar) |
|--|------------|------------------------|--------------------------|-------|------------|-------|---------|------|-----------------------|-------------------------|
| Station de pompage SP1---R1000 Projeté | 219 | 138.86 | 357.56 | 30 | 2090 | 0.57 | 2.86 | 315 | PEHD | 16 |

IV. Choix du type de la pompe

Le choix de la pompe se fait en fonction du débit à refouler et la hauteur d'élévation les critères de choix du type de la pompe sont :

- Assurer Qappelé et la HMT.
- Meilleur rendement.
- Vérifier la condition de non-cavitation.
- Encombrement et poids plus faible.
- Puissance absorbée minimale.
- Vitesse de rotation plus élevée.
- Etre fabriquée en série.

En effet, le choix consiste à déterminer à l'aide des catalogues les types de pompes qui donneront les débits et les hauteurs d'élévation désirés.

Il existe plusieurs types de pompe, on cite trois types :

- Pompes centrifuge.
- Pompe volumétrique.
- Turbopompe.

1) Pompes centrifuge

Une pompe dans sa forme la plus simple est constituée d'une roue munie d'ailettes radiales et couverte d'une enveloppe appelé corps de la pompe. Son principe de fonctionnement c'est l'utilisation de la force centrifuge créée par la rotation de la roue pour transmettre liquide

Pompé de l'énergie cinétique, qui est ensuite transformée en pression lors de la diminution de la vitesse du fluide. [4]

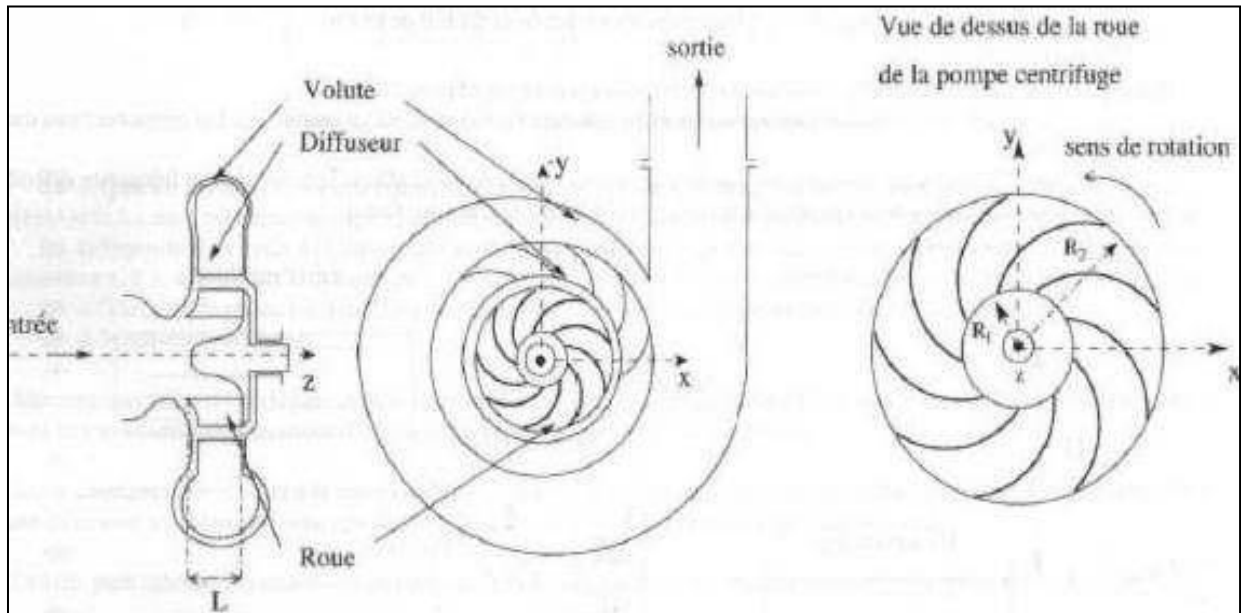


Figure V-6 Pompe centrifuge.

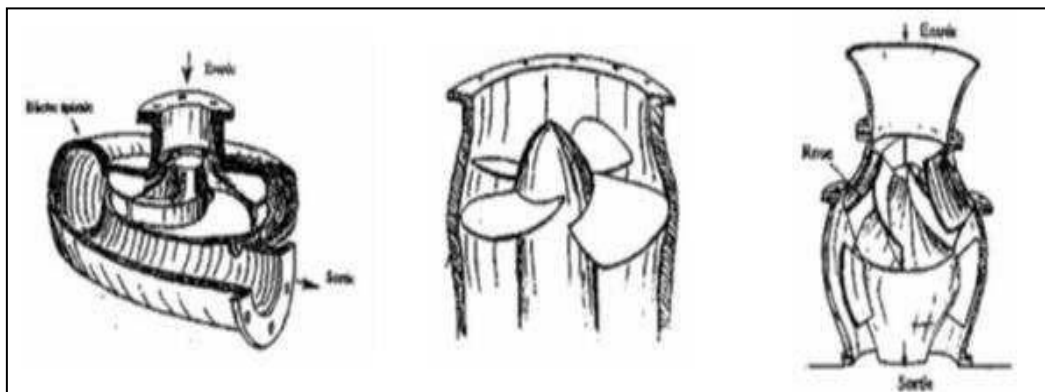
2) Pompe volumétrique

Les pompes volumétriques sont des pompes à débit constant sur les plages de fonctionnement. Elles sont de deux types principaux : pompes à lobes et pompes à rotor excentré. L'énergie est fournie par les variations successives d'un volume raccordé alternativement à l'orifice d'aspiration et l'orifice de refoulement. [4]

3) Turbopompe.

Les turbopompes contiennent une roue munie d'aubes ou d'ailettes animée d'un mouvement de rotation fournit au fluide de l'énergie cinétique dont une partie est transformée en pression par réduction de la vitesse dans un organe appelé récupérateur. Elles se subdivisent en :

- Pompe centrifuge.
- Pompe axiale.
- Pompe hélico-centrifuge. [4]



V. Choix du nombre de pompe

Les critères de

choix du nombre de pompe sont :

Figure V-7 Pompe Turbopompes.

CHAPITRE V : CALCULE D'ADDICTION

- Nombre minimale n de pompes.
- Meilleur rendement.
- Charge nette d'aspiration requise (NPSH)_r minimale.
- Vitesse de rotation plus élevée (tr/min).
- Nombre d'étage minimal.
- Puissance absorbée minimale.

Pour le choix des pompes nous avons utilisé l'ogiciel **CAPRARI** Les resultats des calculs sont regroupés dans la figure ci dissoute.

CHAPITRE V : CALCULE D'ADDICTION



Technical data

COMPANY WITH INTEGRATED
MANAGEMENT SYSTEM CERTIFIED BY DNV
= ISO 9001:2000 =
ISO 14001:2004

| PM 100/ 3 D | | | |
|-------------------------------------|-------------------|-----------|--------|
| Requested data | | | |
| Flow | 30 l/s | | |
| Head | 139 m | | |
| Fluid | Drinking water | | |
| Pumps type | Single head pump | | |
| No. of pumps | 1 | | |
| Operating pump data | | | |
| Flow | 34.9 l/s | | |
| Head | 140 m | | |
| Shaft power | 63.7 kW | | |
| Efficiency | 76.1% | | |
| Head H(Q=0) | 166 m | | |
| Discharge connection | DN 100 (UNI PN40) | | |
| Motor data | | | |
| Frequency | 50 Hz | | |
| Rated voltage | 400 V | | |
| Nominal speed | 2960 1/min | | |
| Number of poles | 2 | | |
| Rated power P2 | 75 kW | | |
| Rated current | 93.5 A | | |
| Motor type | 3~ | | |
| Insulation class | F | | |
| Degree of protection | IP 55 | | |
| Operating limits | | | |
| Starts per hour max. | 5 | | |
| Maximum temperature of pumped fluid | 90 °C | | |
| Maximum content of solid | 20 g/m³ | | |
| Max. Density | 998 kg/m³ | | |
| Max. viscosity | 1 mm²/s | | |
| P2 Max shaft power | 232 kW | | |
| General data | | | |
| Weight | 782 kg | | |
| Materials | | | |
| Delivery casing | Cast Iron | | |
| Suction casing | Cast Iron | | |
| Impeller | Cast Iron | | |
| Wear ring | Cast Iron | | |
| Intermediate bowl | Cast Iron | | |
| Casing | Cast Iron | | |
| Shaft | Stainless steel | | |
| Shaft bush | Stainless steel | | |
| Seal ring | Nitrile rubber | | |
| Ball bearings | Steel | | |
| Stuffing box | Cast Iron | | |
| Packing | Graphited cord | | |
| Remarks: | | | |
| Date | Page | Offer no. | Pos.no |
| 2021-07-05 | 1 | | |

| Operating data | | | | ISO 9906 GRADE 2 | |
|----------------|-------|--------|---------|------------------|--|
| Q [l/s] | H [m] | P [kW] | EM. [%] | NPSH [m] | |
| | | | | | |

Dimensions mm

A = 2115
B = 1490
C = 245
D = 298
DNa = DN125 (UNI PN8-25)
DNm = DN 100 (UNI PN40)
E = 200
F = 250
G = 990
H = 450
I = 670
L = 620
M = 20
N = 140
O = 45
P = 420
Q = 690
R = 860
V = 270

Figure V-8 resulta de logiciel caprari

Conclusion

Dans ce chapitre nous avons déterminé les différents diamètres pour le dimensionnement de la conduite d'adduction. Le paramètre le plus important est le diamètre des conduites qui doit être choisi de telle façon que les vitesses doivent se situées dans une gamme acceptable (entre 0.5 et 1.5 m/s), et Pour se faire nous avons toujours recours à l'aspect technico-économique. Enfin nous avons utilisé le logiciel CAPRARI pour le choix des pompes que seront installées

Conclusion générale

Au cours de ce présent travail, nous pensons avoir cerné les différentes phases de réalisation d'un projet d'alimentation en eau potable, ceci dans le but d'atteindre certains objectifs à savoir :

- L'alimentation en eau potable répondant aux besoins de la population.
- La répartition de l'eau et son acheminement vers les localités concernées.

Notre étude a englobé tous les points qui touchent le plan spécifique à la réalisation d'un projet d'alimentation en eau potable. Bien que cette étude de dimensionnement soit faite pour l'horizon 2051.

Après une analyse profonde des différentes équipements de douar AMMAMIR ville MEFTAH Wilaya de BLIDA, ainsi l'estimation des besoins en eau de l'agglomération ; on a projeté une conduite d'adduction de refoulement en PEHD PN16 ø315mm, le refoulement est fait par de pompe centrifuges multicellulaires à axe horizontales assurant un fonctionnement optimal du transfert de l'eau. Cette pompe alimente le réservoir qui a une capacité de stockage de 1000 m³, qui peut répondre aux besoins de l'agglomération jusqu'à l'année 2051, il alimente gravitairement un réseau de distribution.

Le réseau de distribution de type ramifier composer de conduites non corrosives en polyéthylène haute densité PEHD PN16 avec des diamètres varient entre 32 et 160 mm qui répondent à la norme de potabilité et aux besoins de la population jusqu'à l'horizon d'étude, les vitesses varient entre 0.32 et 1.49 m/s.

Par la suite, à l'aide du logiciel Epanet, nous avons modélisé puis simulé le comportement hydraulique du réseau de distribution de douar AMMAMIR. Ce qui nous a permis d'avoir les diamètres optimaux de toutes les conduites et qui répondent aux conditions de pression et de vitesse acceptables.

CHAPITRE I :

Présentation

de la zone

d'étude

Chapitre II :

Estimation

des besoins

Chapitre III :

Réservoir

Chapitre IV :

Calcule

hydraulique

Chapitre V :

Calcul

d'addition

Chapitre VI :

Description

des

accessoires

hydraulique

Conclusion générale

REFERENCE

- [1] **APC**, Données (situation géographique, relief et topographie, pluviométrie, ...etc.)
recueillies auprès du service du patrimoine de l'APC de Mefteh.
- [2] **Dupont, A.** : « Hydraulique Urbaine » Tome II : Ouvrage de transport-Elévation et
distribution des eaux, Edition Eyrolles, 484 pages, 1979.
- [3] **Hamdani, A. et Igroufa, M.** : « Etude des réseaux d'AEP du centre de Seddouk et
Périphérie, Tibouamoucine, Ighil N'djiber, Sidi Mouffok, et Seddouk Ouadda ». Mémoire
de Fin d'Etudes, Master, Université de Bejaia, 2017.
- [4] **BONNIN, J** : « Aide-mémoire d'Hydraulique Urbaine ». Collection de la direction des Et
de la recherche d'électricité de France, Edition EYROLLES, pages 216,1982.
- [5] **Epanet 2.0** : Simulation et qualité pour les réseaux d'eaux sous pression (Manuel
d'utilisateur 2003).
- [6] **DIRECTION NATIONALE DE L'HYDRAULIQUE** , Guide des projets d'alimentation
en eau potable , pages 184,2004.
- [7] **Goudjil, S. et Sadelli, H.** : «Alimentation en eau potable des localités M'Nair I, M'Nair
II, Heddada, Dhamnet El Fhel, Ain Belkacem et Koudiet el Assa (W. Souk Ahras) ».
Mémoire de Fin d'Etudes, Master, Université de Bejaia, 2017.